

世界で一番アプリやす。

Hayden-Preskill 入門

Hayden-Preskill プロトコル.

[Patrick Hayden & John Preskill, 2007]



量子情報理論.

“ランダム符号化”を理解するための
よい教育的玩具模型.



ブラックホールの 情報パラドクス

ブラックホールの量子誤り訂正的性質を
調べるための qubit 玩具模型

目標: Hayden-Preskill プロトコルを直観と理解する。

目次

1. 量子論の復習.
2. Hayden-Preskill 1: 直観的理解.
3. Hayden-Preskill 2: 厳密な証明 (の方針)
4. Hayden-Preskill 3: 応用.
5. ハミルトン系における Hayden-Preskill

参考文献: Hayden & Preskill, JHEP 2007 (9):120.

Nakata, Wakakuwa & Koashi, Quantum 7, 928 (2023).

Nakata & Tezuka, Phys. Rev. Res. 6, L022021 (2024).

量子情報理論, 朝倉書店.

1. 量子論の復習

量子状態 · 時間発展 · 量子測定

1-1. 量子状態

物理系 A \iff ヒルベルト空間 \mathcal{H}^A

本講義では $d_A := \dim \mathcal{H}^A < \infty$ とする。

- 量子純粋状態 $|\psi\rangle \stackrel{\text{def}}{\iff} \mathcal{H}^A$ のユニークベクトル ($\langle \psi | \psi \rangle = 1$)

例) 波動関数: $i \frac{d}{dt} |\psi\rangle = \hat{H} |\psi\rangle$

Qubit 上の状態: $\alpha |0\rangle + \beta |1\rangle$ ($|\alpha|^2 + |\beta|^2 = 1$)

- 量子系を記述するためには純粋状態だけでは不足。

密度行列 $\rho \stackrel{\text{def}}{\iff} \rho \in \mathcal{B}(\mathcal{H})$ s.t. $\rho \geq 0$ & $\text{Tr}[\rho] = 1$.

ρ : Hermitian 行列
&
全々の固有値が非負 $\iff \forall |\psi\rangle, \langle \psi | \rho | \psi \rangle \geq 0$.

例 1.)

$$\{P_j, |\varphi_j\rangle\}_j$$

量子系 A

"確率 P_j で $|\varphi_j\rangle$ に準備する" = 3=σ=7=il

↳ この系 A は $\rho = \sum_j P_j |\varphi_j\rangle\langle\varphi_j|$ で記述できる。

Remark 1. 密度行列は、純粋状態集合上の確率分布 と定数 α のもの (と解釈できる)

Remark 2 $|\varphi_j\rangle$ は 直交しているとは限らない。

Remark 3 \Rightarrow の異なる 3=σ=7=il $\{P_j, |\varphi_j\rangle\}_j$ と $\{Q_\alpha, |\chi_\alpha\rangle\}_\alpha$ が

$$\sum_j P_j |\varphi_j\rangle\langle\varphi_j| = \sum_\alpha Q_\alpha |\chi_\alpha\rangle\langle\chi_\alpha|.$$

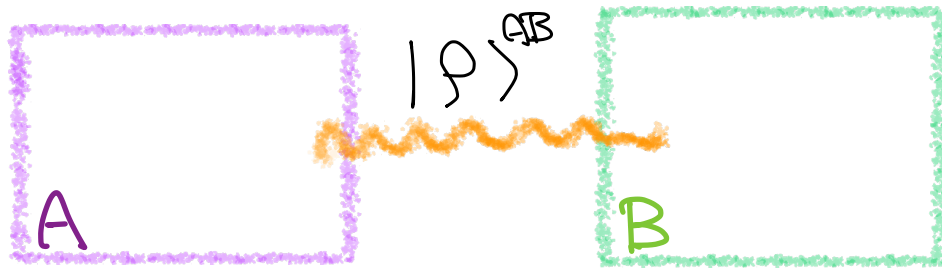
と満たすとき、 \Rightarrow の 3=σ=7=il を見分ける物理的な方法は存在しない。

↳ Prob. $1/2$ で $|0\rangle$ or $|1\rangle$, prob. $1/4$ で $|0\rangle$ or $|1\rangle$ or $|±\rangle$

" $|±\rangle$

などは物理的に全く同じ。

例(2)



系ABの純粋状態 $|\psi\rangle^{AB}$ の部分系Aだけを見ると、

$$\rho^A := \text{Tr}_B [|\psi\rangle\langle\psi|^{AB}]$$

部分トレース

(Partial trace)

$$= \sum_j (I^A \otimes \langle f_j |^B) |\psi\rangle\langle\psi|^{AB} (I^A \otimes |f_j\rangle^B)$$

この密度行列で記述される、

任意の基底

- 純粋化 (Purification) : 部分 L-2 の "逆操作".



$$\forall \rho^A, \exists B \text{ \& } |\psi\rangle^{AB} \text{ s.t. } \text{Tr}_B[\rho \otimes \rho^{AB}] = \rho^A.$$

どうやって B を作りますか？

$$\rho^A = \sum_j p_j |j\rangle\langle j|^A \implies |\psi\rangle^{AA'} = \sum_j \sqrt{p_j} |j\rangle^A \otimes |j\rangle^{A'}$$

対角化

この場合 $B = A'$ ($\Leftrightarrow d_B = d_{A'} = d_A$)

Remark : 純粋化は唯一とはない.

上の例で、 $|\psi'\rangle^{AA'} = \sum_j \sqrt{p_j} |j\rangle^A \otimes |e_j\rangle^{A'}$ としても、 $\rho^A = \rho^A$.
任意の基底.

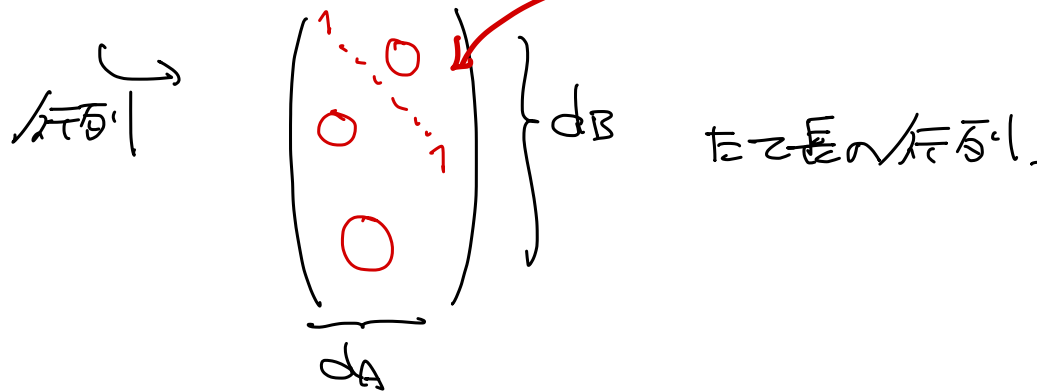
より重要な例として、 $V^{A' \rightarrow B}$ を A' から B へのユニタリ操作として、
($d_A \leq d_B$)

$$|\varphi\rangle^{AB} = (I^A \otimes V^{A \rightarrow B}) |\varphi\rangle^{AA'}$$

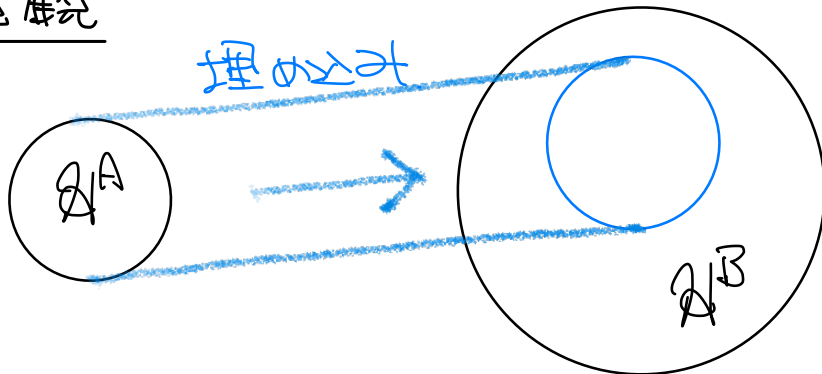
を考えると、 $\rho^{AA'} = \rho^A$.

3.1.1.1)

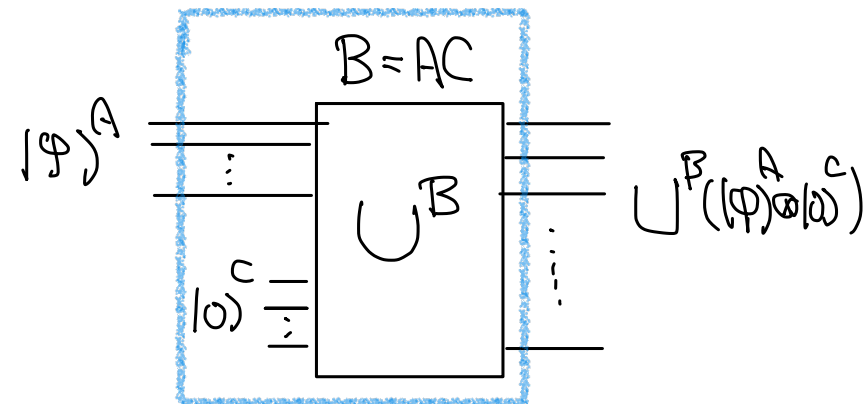
$V^{A \rightarrow B}$: $d_B \times d_A$ 行列で、 $(V^{A \rightarrow B})^\dagger V^{A \rightarrow B} = I^A$ とおける。
 ($d_A \leq d_B$)



透視



$$V^{A \rightarrow B} = U^B (I^A \otimes |0\rangle^C)$$



確認:

$$\begin{aligned}\mathrm{Tr}_B [|\rho\rangle\langle\rho|^{AB}] &= \mathrm{Tr}_B [(I^A \otimes V^{A \rightarrow B}) |\rho\rangle\langle\rho|^{AA'} (I^A \otimes V^{A \rightarrow B})^\dagger] \\ &= \mathrm{Tr}_B [(I^A \otimes V^{A \rightarrow B})^\dagger (I^A \otimes V^{A \rightarrow B}) |\rho\rangle\langle\rho|^{AA'}] \\ &= \mathrm{Tr}_{A'} [|\rho\rangle\langle\rho|^{AA'}] \quad \xrightarrow{\text{red arrow}} \text{red text: } I^{A'} \therefore \text{exists} \\ &= \rho^A\end{aligned}$$

よって、 $|\rho\rangle\langle\rho|^{AB} = (I^A \otimes V^{A \rightarrow B}) |\rho\rangle\langle\rho|^{AA'}$ は ρ^A の純粋化。

純粋化の自由度

$|\rho_1\rangle\langle\rho_1|^{AB}$ と $|\rho_2\rangle\langle\rho_2|^{AC}$ が ρ^A の純粋化だとすると、 $\exists (Y, X, U) V^{B \rightarrow C}$
が存在して、
($d_B \leq d_C$)

$$|\rho_2\rangle\langle\rho_2|^{AC} = (I^A \otimes V^{B \rightarrow C}) |\rho_1\rangle\langle\rho_1|^{AB}$$

とかけます。

[証明は容易]

Remark 2 \Rightarrow の異なる $J = \#$ - ベル $\{\rho_j, |\varphi_j\rangle\}_{j=1, \dots, J}$ と $\{\rho_\alpha, |\varphi_\alpha\rangle\}_{\alpha=1, \dots, K}$
 同じ密度行列をもつ。つまり、

$$\sum_{j=1}^J \rho_j |\varphi_j\rangle\langle\varphi_j| = \sum_{\alpha=1}^K \rho_\alpha |\varphi_\alpha\rangle\langle\varphi_\alpha|.$$

このとき、 \Rightarrow の $J = \#$ - ベルを区別する物理的な方法は存在しない。

\hookrightarrow これは純粋化の自由度を用いて示せる。

Proof) $J \leq K$ である。

K 次元系 B と、その系の基底 $\{|b_\alpha\rangle\}_{\alpha=1, \dots, K}$ を用いて

$$|\Psi\rangle^{AB} := \sum_{\alpha=1}^K \sqrt{\rho_\alpha} |\varphi_\alpha\rangle^A \otimes |b_\alpha\rangle^B$$

とすると、この状態の B を $\{|b_\alpha\rangle\}_{\alpha=1, \dots, K}$ で測定すれば、

系 A に $\{\rho_\alpha, |\varphi_\alpha\rangle\}_{\alpha=1, \dots, K}$ が実現する。

一方、J次元系 C と $\{ |C_j\rangle \}_{j=1..J}$

$$|\Phi\rangle^{AC} := \sum_{j=1}^J \sqrt{p_j} |\varphi_j\rangle^A \otimes |C_j\rangle^C$$

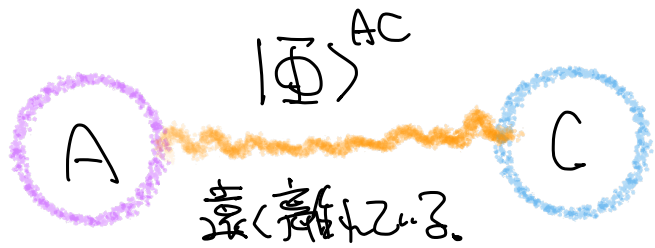
とすると、C の基底は $A = \{ p_j, |\varphi_j\rangle \}_{j=1..J}$ 実現。

仮定より、
$$|\Psi\rangle^A = \sum_{\alpha=1}^K q_\alpha |\varphi_\alpha\rangle \langle \varphi_\alpha|^A = \sum_{j=1}^J p_j |\varphi_j\rangle \langle \varphi_j|^A = \bar{\Phi}^A.$$

よって、 $V^{C \rightarrow B}$ が存在して、

$$|\Psi\rangle^{AB} = (I^A \otimes V^{C \rightarrow B}) |\Phi\rangle^{AC}$$

以下の状況も考えられる。



case 1.

C は $\{|C_j\rangle\}_{j=1, \dots, J}$ で測れる。

$\Rightarrow A$ は $\{P_j |\varphi_j\rangle\}_{j=1, \dots, J}$ の実現

case 2.

C は $\exists \text{ } \gamma \times \text{ } \tau \text{ } V^{C \rightarrow B}$ の作用した $\{|b_\alpha\rangle\}_{\alpha=1, \dots, K}$ で測れる。

$\Rightarrow A$ は $\{Q_\alpha, |r_\alpha\rangle\}_{\alpha=1, \dots, K}$ の実現

もし $\{P_j |\varphi_j\rangle\}_{j=1, \dots, J}$ と $\{Q_\alpha, |r_\alpha\rangle\}_{\alpha=1, \dots, K}$ が相容性を持たないならば、

C で $\exists \text{ } \gamma \times \text{ } \tau \text{ } V^{C \rightarrow B}$ の操作をした後 A を check できる。

光速を超えた通信が可能になる。 Contradiction!!



• Schmidt 分解.



$$|\psi\rangle^{AB} = \sum_{j=1}^{d_A} \sum_{\alpha=1}^{d_B} C_{j\alpha} |\phi_j\rangle^A \otimes |\chi_\alpha\rangle^B$$

(d_A 是依赖于) 的基底
 $\{|\phi_j\rangle^A\}_{j=1}^{d_A}$ $\{|\chi_j\rangle^B\}_{j=1}^{d_B}$

$$= \sum_{j=1}^{\min\{d_A, d_B\}} \sqrt{p_j} |\phi_j\rangle^A \otimes |\chi_j\rangle^B$$

概率分布.



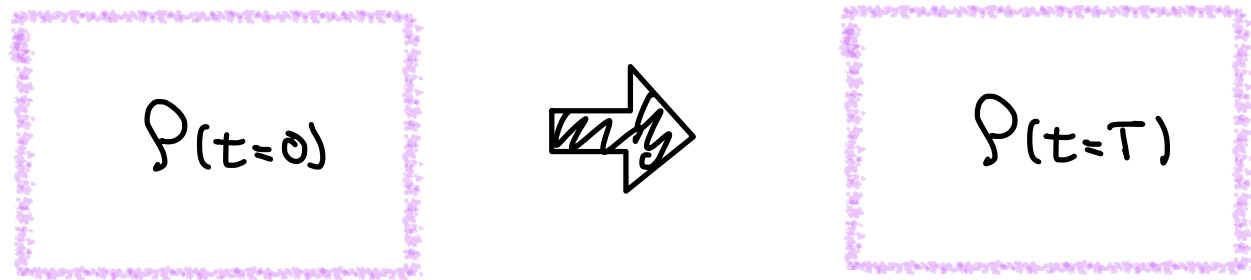
$$\rho^A = \sum_{j=1}^{\min\{d_A, d_B\}} p_j |\phi_j\rangle\langle\phi_j|^A$$

$$\rho^B = \sum_{j=1}^{\min\{d_A, d_B\}} p_j |\chi_j\rangle\langle\chi_j|^B$$

1. 同心圆有值.

2. $\text{rank } \rho^A = \text{rank } \rho^B = \min\{d_A, d_B\}$.

1-2. 時間発展

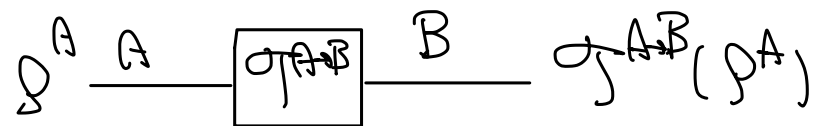


例) Schrödinger 方程式: $i\frac{d}{dt} |\Psi(t)\rangle = \hat{H} |\Psi(t)\rangle$

Lindblad 方程式: $\dot{\rho} = -i[\hat{H}, \rho] + \sum_j \gamma_j (L_j \rho L_j^\dagger - \frac{1}{2}\{L_j^\dagger L_j, \rho\})$

最も一般的な形式で 量子系の時間発展 は記述する方法

⊛ 写像: 状態を状態に写すことが必要.



⊛ \Leftrightarrow Completely-Positive Trace-Preserving 写像 (CPTP map).

$$\text{Tr}[\sigma(X)] = \text{Tr}[X], \quad \forall \text{op. } X.$$

Positive 写像

$$\forall \rho^A \geq 0 \quad A \quad \boxed{\sigma_{A \rightarrow B}} \quad B \quad \sigma_{A \rightarrow B}(\rho^A) \geq 0$$

← 当然 \otimes のために必要だが、この条件だけでは不十分。

Completely-Positive 写像

$$\forall \rho^{AR} \geq 0 \quad \left. \begin{array}{l} A \quad \boxed{\sigma_{A \rightarrow B}} \quad B \\ R \leftarrow \text{any dimension} \end{array} \right\} (\sigma_{A \rightarrow B} \otimes \text{id}^R)(\rho^{AR}) \geq 0$$

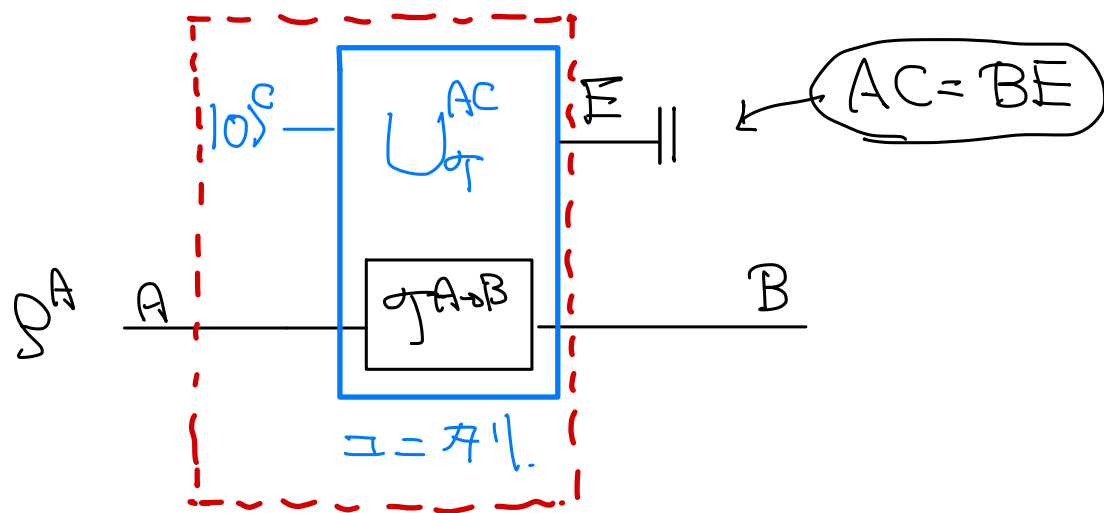
CPTP 写像 \Leftrightarrow 状態は必ず状態になる。

↳ 任意の CPTP 写像は、量子論の枠組みで実現可能である。

A. Yes.

• Stinespring 拡張 (Stinespring dilation)

↑ 任意の CPTP 写像は、 $\mathcal{I} = \mathcal{I}^A$ と部分トレースで書ける。



$$U_{\mathcal{I}}^{AC} (I^A \otimes |0\rangle^C) =: V_{\mathcal{I}}^{A \to BE} = \exists \gamma \times \mathcal{I}^A.$$

∀ CPTP map $\mathcal{I}^{A \to B}$, $\exists V_{\mathcal{I}}^{A \to BE} = \exists \gamma \times \mathcal{I}^A$ s.t.

$$\mathcal{I}^{A \to B}(\cdot) = \text{Tr}_E [V_{\mathcal{I}}^{A \to BE}(\cdot)(V_{\mathcal{I}}^{A \to BE})^\dagger].$$

物理的な意味

CPTP map を実装する代わりに、適切な拡張系に Γ により

作用して、不要な系を Tr してしまえばよい。

↳ 物理系が実現可能。

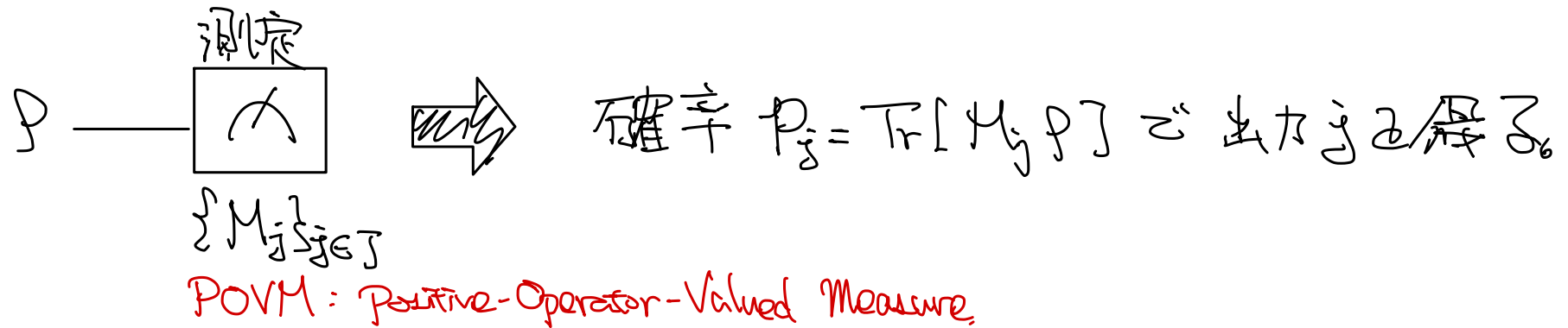
結論

CPTP 写像 \Leftrightarrow 状態は必ず状態になる。

\Leftrightarrow 量子系が実現できる全ての時間発展。

1-3. 量子測定

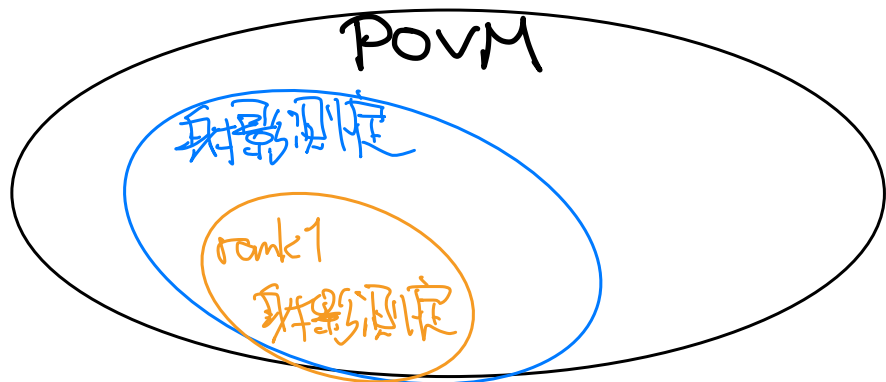
測定 = 量子系から古典情報を取り出す操作.



$$\text{POVM } \{M_j\}_{j \in J} \iff M_j \geq 0 \text{ \& } \sum_{j \in J} M_j = I.$$

Remark 1.

POVM の特殊ケースとして、様々な測定がある。



射影測定 PVM: 全ての M_j が射影演算子.

rank-1 PVM: 全ての M_j が rank-1 の \uparrow

$\hookrightarrow \{ |e_j\rangle\langle e_j| \}_j$: 基底.

Remark 2

初歩の量子論: “可観測量 Θ の値”

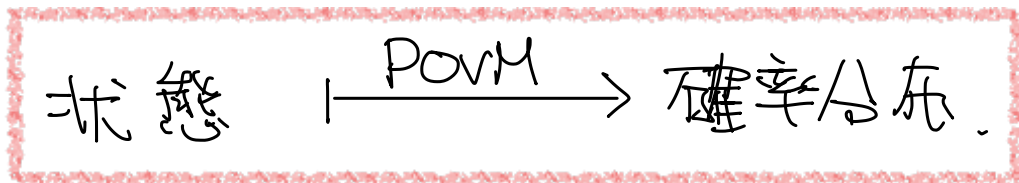
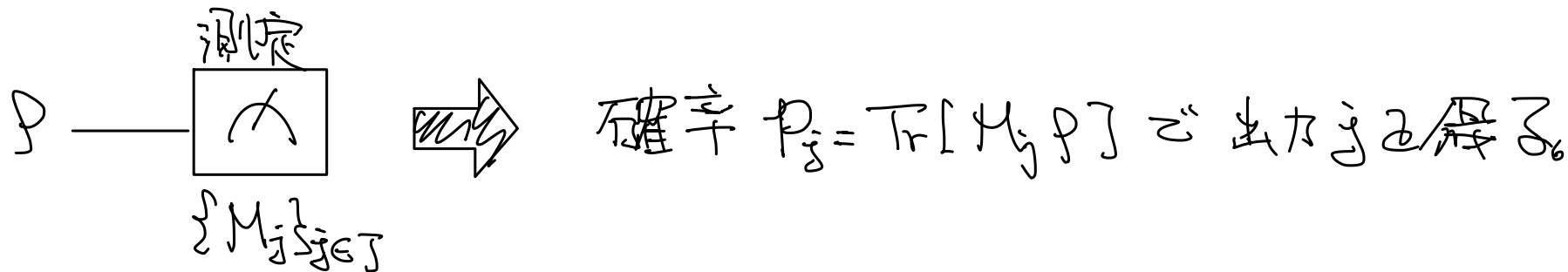
\Leftrightarrow 期待値は $\text{Tr}[\Theta \rho]$.

これは PVM の帰結.

$\Theta = \sum_j \theta_j \underbrace{P_j}_{\text{射影}}$ \Rightarrow $\{P_j\}_j$ を測ると、 j を $\overset{\text{確率}}{\text{Tr}[P_j \rho]}$ で得る。

$$\begin{aligned}\Rightarrow \text{期待値} &: \sum_j \theta_j \text{Tr}[P_j \rho] \\ &= \text{Tr} \left[\left(\sum_j \theta_j P_j \right) \rho \right] \\ &= \text{Tr}[\Theta \rho]\end{aligned}$$

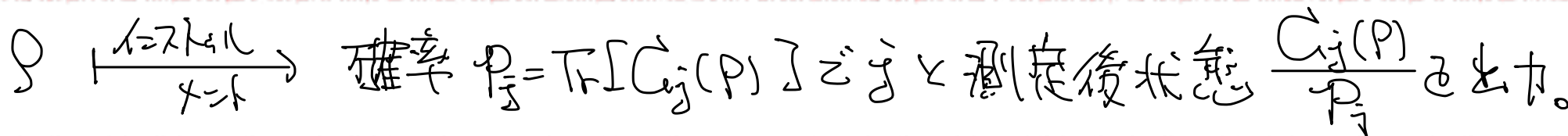
Remark 3.



\hookrightarrow 測定後の状態を記述したときは、POVMは不足。

量子イスタカルクット $\{C_j\}_{j \in J}$.

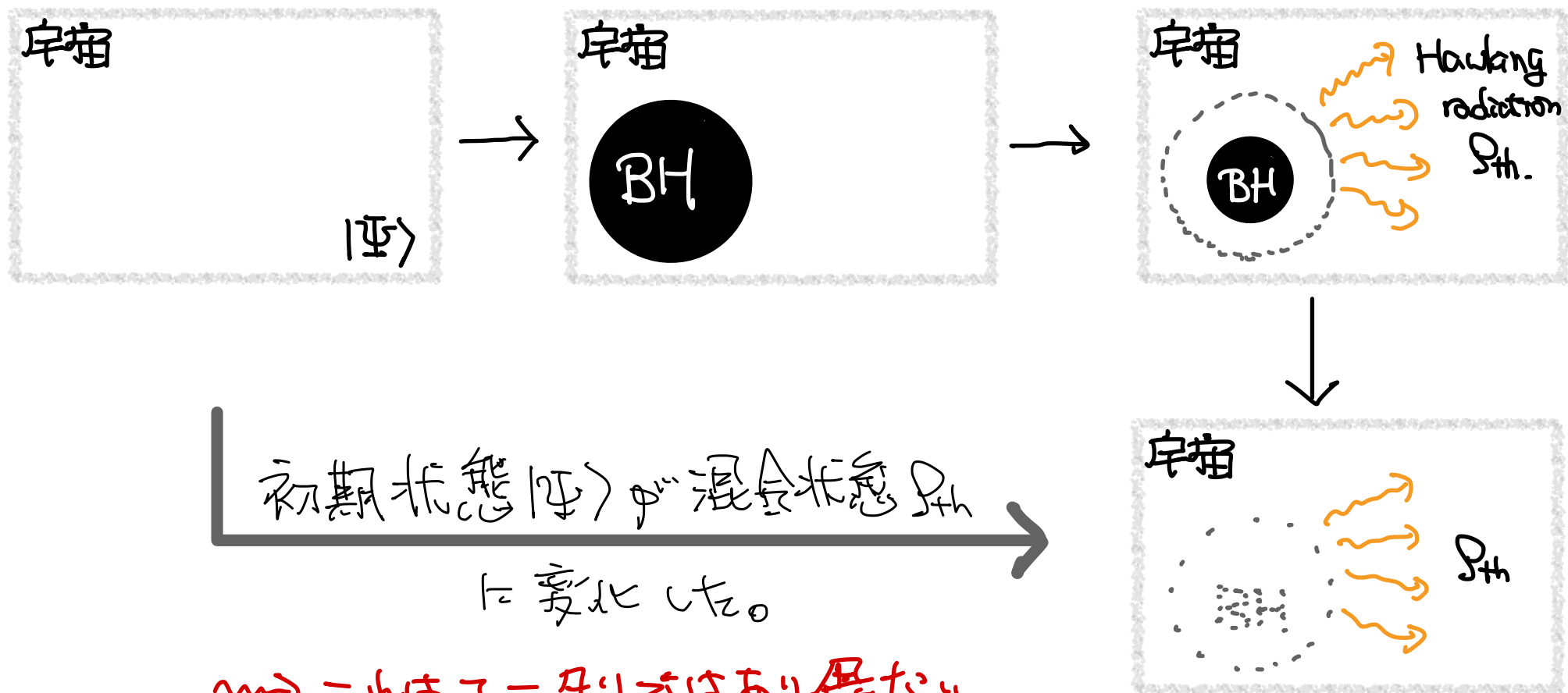
- $\forall_j, C_j: \text{CP trace-non-increasing map}$
- $\sum_j C_j = \text{id}$



2. Hayden Preskill: 透視

2-1. Hayden-Preskill とは?

- ブラックホールの情報パラドックスを oversimplify した模型.
- 量子論の言正る oversimplify した模型.
- ブラックホールの情報パラドックス



(僕には分らない、何らかの理由で)、多くの人は宇宙の時間発展は
ユニタリだと信じている。

仮定: 宇宙はユニタリ時間発展。

⇒ Hawking 放射が熱的 (P_{thermal}) であるように "見える" が、
本質は熱的ではないはず。

⇒ Hawking 放射から $|A\rangle$ を復元する方法があるはず。

↳ Hayden-Preskill protocol はこの方法を示した toy model.

● HP 70131L

$t=0$

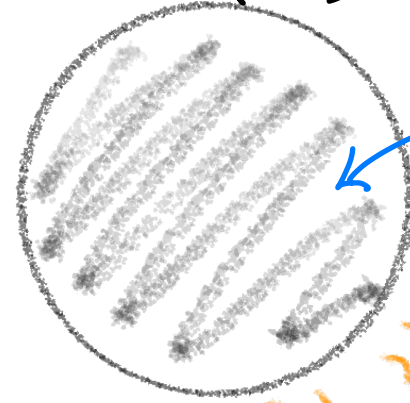
BH: B
 $n-R$ qubits



A: R qubits
 $|2\rangle$

$|1\rangle_{BB'}$: ρ^B の複製
 "old" radiation. B'

Enlarged BH $S=AB$
 n qubits



$U^S =$ 月11 時間 2 層

$|1\rangle_{BB'}$
 "old" radiation. B'

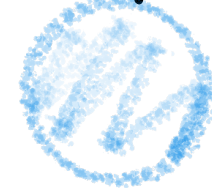
"New" radiation
 l qubits D



"old" radiation. B'

$|2\rangle$ と複製
 できる?

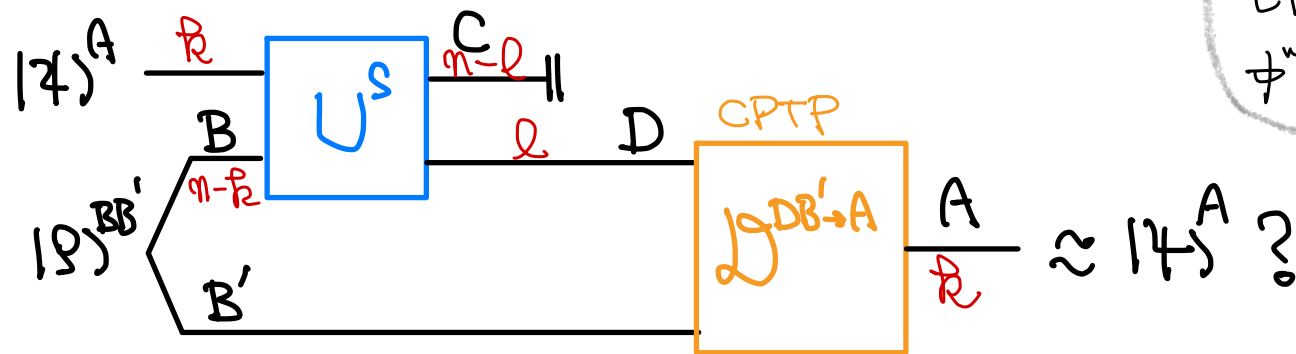
残りの BH C
 $n-l$ qubits



"New" radiation
 l qubits D

$|1\rangle_{BB'}$
 "old" radiation. B'

HP プロトコルのアイデア



全く「重力」が「入る」仕組み。
 しばしば、「Gauge/Gravity」の
 中「あり」る。Q. mech と「分」を
 認「め」る。

仮定 1. U^S と $|\psi\rangle^{BB'}$ の詳細は 知ら ず。

$\Leftrightarrow D$ は U と $|\psi\rangle$ に依存しない。

\Rightarrow L , $n=L$ ならば、 $U^{S\dagger}$ と作用させれば $|\psi\rangle^A$ と $|\psi\rangle^{BB'}$ を 取り 出す。

問. $|\psi\rangle^A$ の復元は成功するたためは、 D が「どこまで」た「きつ

た かの？

仮定 2. U^S は Haar ランダム・エントリ (or Z の近傍)

← これは後々、 e^{-iHt} に置き換えるが、

基本的に本講義の全てで Haar を仮定する。

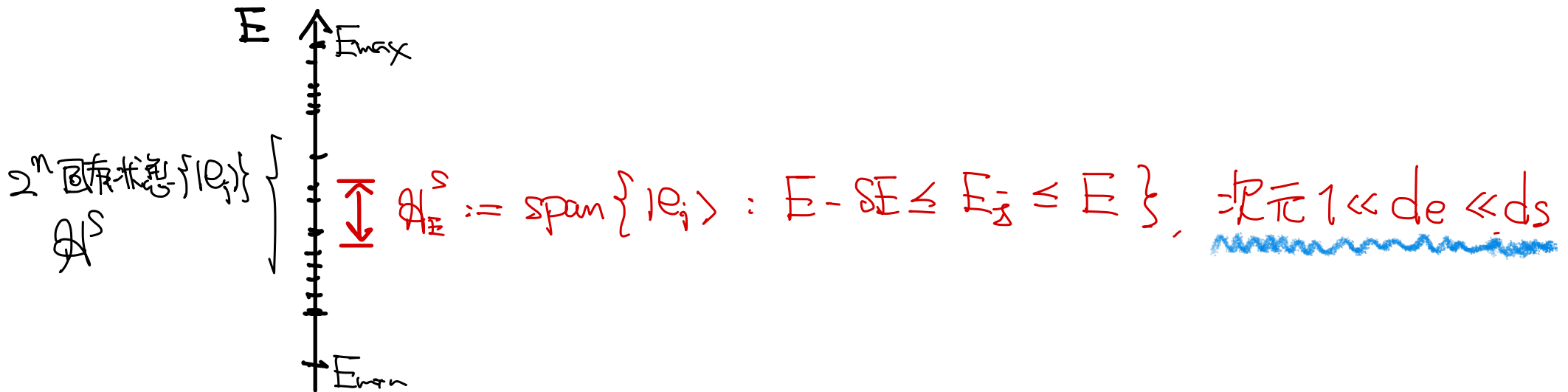
2-2. 履録: HP プロトコルと熱平衡化.



Ans. U^S が "エネルギーを保存する" 系である

① $\Rightarrow L$ が "1/2 以下" ならば Yes.

エネルギー空間 S : $H^S = \sum_j E_j |e_j\rangle\langle e_j|$



① 仮定: $\rho^A \otimes \rho^B \in \mathcal{H}_E^S$ 上の状態.

S の $\mathcal{U} = \mathcal{A}'$ は, \mathcal{H}_E^S 上の Haar 状態 U_E^S .
(\approx エネルギーをあまり混ぜない).

もL.

$$\textcircled{2} \quad Q \ll \frac{1}{2} (\log d_E - H(B)_\rho)$$

ならば, new & old radiation の状態 σ は,

$$\sigma^{DB'} \approx \sum_{\text{thermal}}^D \otimes \rho^{B'}$$

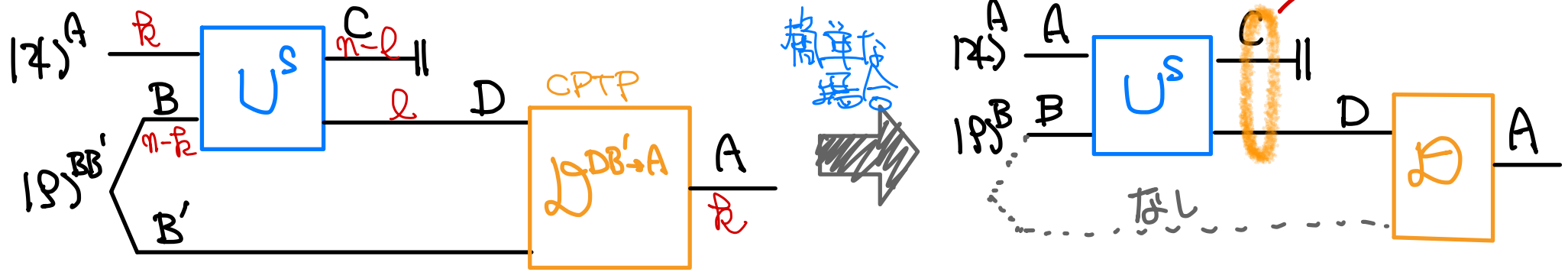


つまり, new radiation D は熱的 ぞ.

old radiation B' とは何の関係も持たない.

“Hawking 放射”中 “熱的” という結果と (仮定条件と) 整合.

2-3. HP 70131L 1.



しかし、 $|\Psi\rangle^{CD} = U^S (|\psi\rangle^A \otimes |\psi\rangle^B)$ がどのような状態か分からない。

Step 1. C-D 間の EPR 状態か？

Step 2. Ψ^C or Ψ^D がどのような状態か？

Step 3. Ψ^D から $|\psi\rangle^A$ を復元できるか？

Step 1. $|\Psi\rangle^{\text{CD}} = \bigcup^S (|\varphi\rangle^A \otimes |\rho\rangle^B)$ の エンタングルメント?

エンタングルメント. エントロピー.

- $d_c \leq d_0$ の場合を考える.

$$H(C)_\Psi := -\text{Tr}[\Psi^C \log \Psi^C].$$

↳ Haar 平均

$$\mathbb{E}_U [H(C)_\Psi] = -\mathbb{E}_U [\text{Tr}[\Psi^C \log \Psi^C]].$$

$0 \leq H(C)_\Psi \leq \log d_c$
 $|\Psi\rangle^{\text{CD}}$: 加算
 $|\Psi\rangle^{\text{CD}}$: 最大エンタングルメント

Prop 1. $H(C)_\Psi \geq H_2(C)_\Psi := -\log \text{Tr}[\Psi^C]^2]$

Prop 2. $\ln x \leq x - 1$

Prop 3. $2 \text{Prop 2} \rightarrow \text{Prop 1}$ ($\approx L^p$ ノルム. Prop 1)

$$\text{Tr}[M^A N^A] = \text{Tr}[(M^A \otimes N^A) F^{AA'}]$$

\Rightarrow $F^{AA'} = \sum_{j,k} |e_j\rangle\langle e_k|^A \otimes |e_k\rangle\langle e_j|^{A'}$: basis-independent.

1) → 4. 且し、 $\Theta^{AA'}$ が \mathbb{R} の $U^A \otimes U^{A'}$ の基底として

$$[\Theta^{AA'}, U^A \otimes U^{A'}] = 0$$

を満たすためには、 $\Theta^{AA'} = \alpha I^A \otimes I^{A'} + \beta F^{AA'}$ と書ける。

また、 α と β は、

$$\int \text{Tr}[\Theta^{AA'}] = \alpha d_A^2 + \beta d_A$$

$$\int \text{Tr}[\Theta^{AA'} F^{AA'}] = \alpha d_A + \beta d_A^2$$

を解くことで求める。

よって、

$$\mathbb{E}_U [H(C)_\mathbb{F}] \geq \mathbb{E}_U [H_2(C)_\mathbb{F}]$$

$$= \mathbb{E}_U \left[- \log \left[\text{Tr} \left[(\mathbb{F}^C)^2 \right] \right] \right]$$

$0 \leq$

$\log d_C$

$$\log d_C - H_2(C)_\mathbb{F} = \log \left[d_C \times \text{Tr} \left[(\mathbb{F}^C)^2 \right] \right]$$

$$\leq \frac{1}{\ln 2} (d_S \operatorname{Tr}[(\Psi^C)^2] - 1)$$

$\hookrightarrow \mathbb{E}_U [\operatorname{Tr}[(\Psi^C)^2]] \neq \frac{1}{d_S} \operatorname{Tr}[\Psi^C] + \frac{1}{d_S}$

$$\begin{aligned} \mathbb{E}_U [\operatorname{Tr}[(\Psi^C)^2]] &= \mathbb{E}_U [\operatorname{Tr}[(\Psi^C \otimes \Psi^C) \mathbb{F}^{CC}]] \\ &= \operatorname{Tr}_B [|\Psi\rangle\langle\Psi|^{\otimes 2}] \\ &= \operatorname{Tr}_B [U^S (|4 \times 4\rangle^A \otimes |8 \times 8\rangle^B) U^{S\dagger}] \\ &= \mathbb{E}_U [\operatorname{Tr}[(U^S (|4 \times 4\rangle^A \otimes |8 \times 8\rangle^B) U^{S\dagger})^{\otimes 2} (\mathbb{F}^{CC} \otimes \mathbb{I}^{DD})]] \\ &= X^{SS'} \end{aligned}$$

$$\begin{aligned} \hookrightarrow \text{Hacron } \text{of } \text{it}'\text{z}' [X^{SS'}, U^{S \otimes 2}] &= 0 \\ (\forall U = \mathbb{A}^S) U^S & \end{aligned}$$

$$\begin{aligned} \Leftrightarrow X^{SS'} &= \alpha \mathbb{I}^{SS'} + \beta \mathbb{F}^{SS'} \\ &= \frac{\mathbb{I}^{SS'} + \mathbb{F}^{SS'}}{d_S(d_S+1)} \end{aligned}$$

また, Schmidt 分解 $\sum_i \sqrt{\lambda_i} |u_i\rangle \langle v_i|$ と, $H(C)_\Psi = H(D)_\Psi$ も示す。

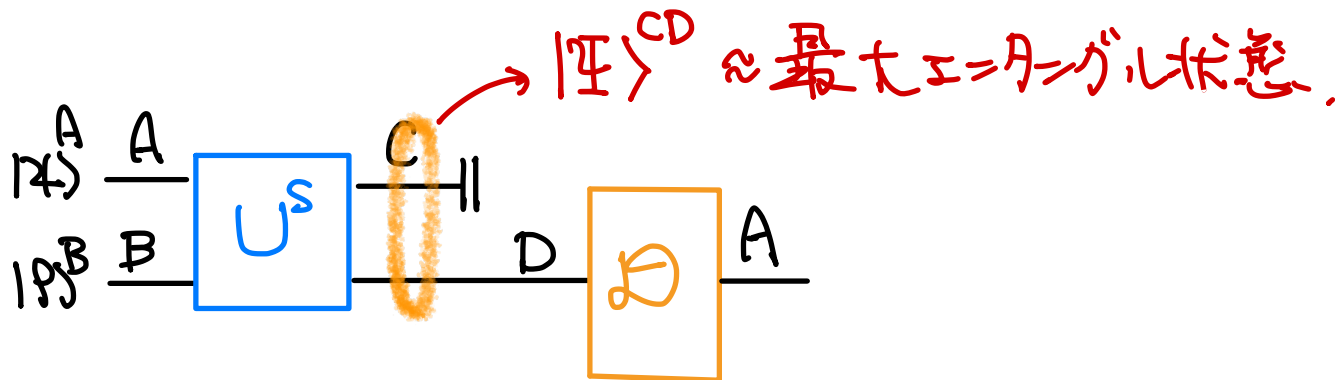
$d_C > d_D$ も示す \Rightarrow $d_C \geq d_D$ と示す。

$$\log d_{\min} - \frac{1}{\ln 2} \frac{d_{\min}}{d_{\max}} < \mathbb{E}_U [H(C)_\Psi] = \mathbb{E}_U [H(D)_\Psi] \leq \log d_{\max}$$

$$\Rightarrow d_{\min/\max} = \min/\max \{d_C, d_D\}$$

$\rightsquigarrow |\Psi\rangle^{CD} = \bigcup^S (|u\rangle^A \otimes |v\rangle^B)$ は, $(|u\rangle^A \text{ と } |v\rangle^B \text{ は独立})$

ほぼ最大のエ=ア=ゲル状態を示す \Rightarrow Ψ は t_2



$l \approx n$ のときでも、

$$\mathbb{F}^D \approx \frac{1}{d_c} \begin{pmatrix} \dots & \dots & \dots & \dots \\ \dots & \dots & \dots & \dots \\ \dots & \dots & \dots & \dots \\ \dots & \dots & \dots & \dots \end{pmatrix}$$

Diagram description: A matrix with a dashed vertical line. The top-left block is a square with a diagonal of 1s and a bracket labeled d_c and a 0. The bottom-left block is a row of 0s with a bracket labeled d_c . The bottom-right block is a square of 0s.

- 固有値は l^A に依存しない。
- 重要なのは、固有状態 (サポート)。

$$= \frac{1}{d_c} \sum_{j=1}^{d_c} |f_j \times f_j| = \frac{1}{d_c} \Pi^D(4)$$

この固有状態が、 l^A に依存する!

→ この依存性を知らずには、 $d_c \ll d_0$ ($\Leftrightarrow l \gg n/2$) の場合を考察する。

$$\Psi^C(\gamma) \approx \begin{pmatrix} 1 & & & \\ & \ddots & & \\ & & 0 & \\ 0 & & & \ddots \\ & & & & 1 \end{pmatrix}, \quad \Psi^D(\gamma) \approx \begin{pmatrix} \vdots & & & & 0 \\ \cdots & & & & \vdots \\ \underbrace{\quad}_{dc} & & & & \\ 0 & & & & 0 \\ \vdots & & & & \vdots \end{pmatrix}$$

claim

$|\gamma\rangle^A \perp |\gamma^\perp\rangle^A$ と \rightarrow の入力も \perp になる。

この時、近似的に $\Psi^D(\gamma) \perp \Psi^D(\gamma^\perp)$ である。

つまり、入力も \perp なら出力も (ほぼ) \perp になる。

これを "hand-waving" にする。

直交性の目安 : 一般のベクトル $|\psi\rangle$ と $|\omega\rangle$

$$|\langle \psi, \omega \rangle| = \|\psi\rangle\| \times \|\omega\rangle\| \times \cos \theta$$

$$\therefore \frac{|\langle \psi, \omega \rangle|}{\|\psi\rangle\| \|\omega\rangle\|} \ll 1 \iff |\psi\rangle \text{ と } |\omega\rangle \text{ は ほぼ直交。}$$

$\hookrightarrow \Psi^D(\mathcal{A})$ や $\Psi^D(\mathcal{A}^\dagger)$ は行列なので、Hilbert-Schmidt 内積 を使おう

• $\langle M, N \rangle := \text{Tr}[M^\dagger N]$ みたい,

• $\|M\|_2 := \sqrt{\langle M, M \rangle}$

以下では

$$\frac{|\langle \Psi^D(\mathcal{A}), \Psi^D(\mathcal{A}^\dagger) \rangle|}{\|\Psi^D(\mathcal{A})\|_2 \|\Psi^D(\mathcal{A}^\dagger)\|_2}$$

ε "hand-waving" $\approx \frac{\varepsilon}{s} \approx \varepsilon$

$$\textcircled{1} \mathbb{E}_\nu \|\Psi^D(\mathcal{A})\|_2^2 = \mathbb{E}_\nu [\text{Tr}[(\Psi^D(\mathcal{A}))^2]] = \frac{d_c + d_p}{d_s + 1} \approx \frac{1}{d_c} + \frac{1}{d_p}$$

すこしはちた!!

$$\rightsquigarrow (\text{ほんとはたまたま}) \quad \mathbb{E}_U \| \Psi_{(Z)}^D \|_2 = \mathbb{E}_U \| \Psi_{(Z^t)}^D \|_2$$

$$\approx \sqrt{\frac{1}{d_c} + \frac{1}{d_p}}$$

$$\textcircled{2} \quad \mathbb{E}_U | \langle \Psi_{(Z)}^D, \Psi_{(Z^t)}^D \rangle |$$

$$= \mathbb{E}_U | \text{Tr} [\Psi_{(Z)}^{D^\dagger} \Psi_{(Z^t)}^D] | \quad \downarrow \quad \Psi_{(Z)}^\dagger = \Psi_{(Z)} \text{ 且 } \text{Tr} \frac{1}{N} \geq 0$$

$$= \mathbb{E}_U [\text{Tr} [\Psi_{(Z)}^D \Psi_{(Z^t)}^D]]$$

...

$$= \mathbb{E}_U [\text{Tr} [\underbrace{(U^S \otimes U^{S'})}_{= \alpha \mathbb{I}^{SS'} + \beta \mathbb{H}^{SS'}} (|Z \times Z\rangle^A \otimes |Z^t \times Z^t\rangle^{A'} \otimes |P \times P\rangle^B \otimes |P \times P\rangle^{B'}) \underbrace{(U^S \otimes U^{S'})^\dagger}_{* (\mathbb{H}^{DD'} \otimes \mathbb{I}^{CC'})}]]$$

$$= \dots = \frac{1}{d_D} \left(1 + \frac{1}{d_S^2 - 1} \right) \left(1 - \frac{1}{d_C^2} \right) \approx \frac{1}{d_D}$$

① と ② ≠ 1, hand-waving 12 13.

$$\frac{|\langle \Psi^D(2), \Psi^D(2') \rangle|}{\|\Psi^D(2)\|_2 \|\Psi^D(2')\|_2} \approx \frac{1/d_0}{1/d_0 + 1/d_c} = \frac{d_c}{d_0 + d_c} \ll 1$$

$d_c \ll d_0$ の場合.

$\dots \bar{z} = z z^*$

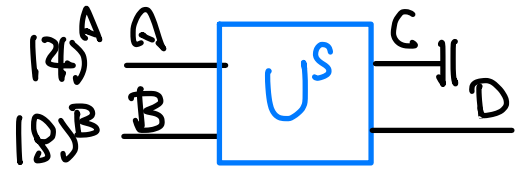
12 13 \ll 13 14 hand-waving 12, 絶対に論文には書けないから、

$$d_c \ll d_0 \Rightarrow \left\{ \begin{array}{l} |2\rangle^A \longrightarrow \Psi^D(2) \approx \begin{pmatrix} I & & \\ & 0 & \\ & & 0 \\ 0 & & 0 \end{pmatrix} \\ |2'\rangle^A \longrightarrow \Psi^D(2') \approx \begin{pmatrix} 0 & & \\ & 0 & \\ & & I \\ 0 & & 0 \end{pmatrix} \end{array} \right.$$

と $\bar{z} z^*$ 12 13.

Ψ^C

残りのBH
n-l qubits

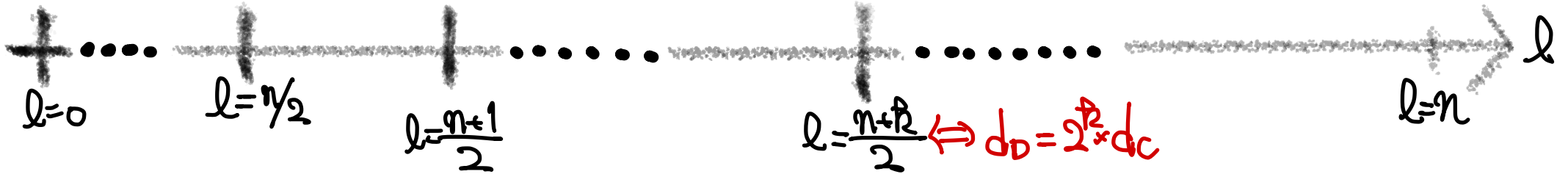


$\propto I^C$

$\propto I^C$

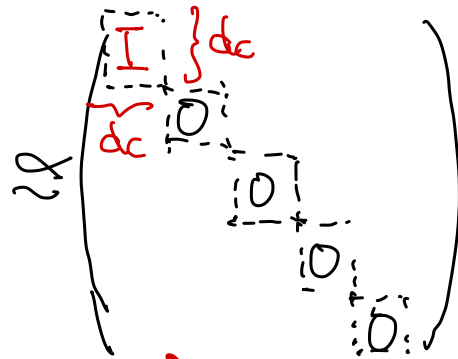
$\propto I^C$

$\propto I^C$



$\propto I^D$

$$\propto \begin{pmatrix} I & 0 \\ \vdots & \vdots \\ 0 & 0 \\ \vdots & \vdots \\ d_c & d_c \end{pmatrix} \dots$$



2^p の 70 の p^m 因子の A の基底全
中「直交性」も保てる!!

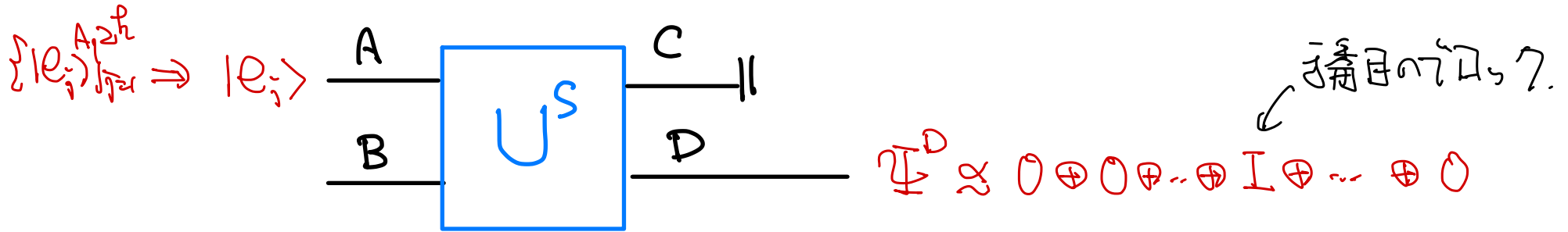
直交基底状態 1 組

$(|1\rangle_A, |2\rangle_A)$ 対に p^m 直交性を保てる。

Ψ^D

New radiation
l qubits

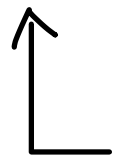
→ 更に, $d_D \geq 2^k \times d_C$ が必要.



と期待を下げ, \Rightarrow これは Haar の Collision-free の性質と呼ばれる.

期待 $d_D \geq 2^k \times d_C \iff d \geq \frac{n+k}{2}$ が必要.

Ψ^D から $|2\rangle^A$ を検出できる.



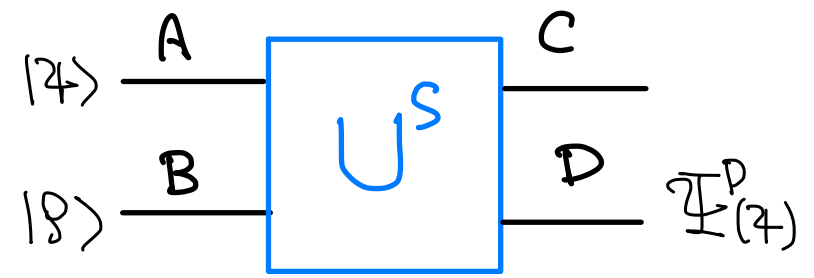
Haar \Rightarrow Collision-free のおかげで直交性が保たれる.

\Rightarrow A の 2^k の直交状態も保たれるには.

D の次元中 $d_D \geq 2^k d_C$ が必要.

背後に好論理

ここまでのまとめ.



$U^S \sim$ Haar random



$|7\rangle$ と $|8\rangle$ に依存せず、
C-D 層がほぼ最大に $E=A$ になる。



collision-free の性質 ($\mathbb{P} \approx 1$)

$$\Psi^D(7) \perp \Psi^D(7')$$

が成立する。

$$\left[\Leftrightarrow \Psi^D(7) \approx \frac{1}{d_{\min}} \begin{pmatrix} 1 & & \\ & \ddots & \\ & & d_{\min} \end{pmatrix} \right]_{d_0}$$

「A系と直交する状態」



「系 D の大きさ = d_0 」 と 「 $\Psi^D(7)$ の rank = d_{\min} 」 と、「A系と直交する状態」の $E=A$ が
 できる可能性がほぼ決まる。

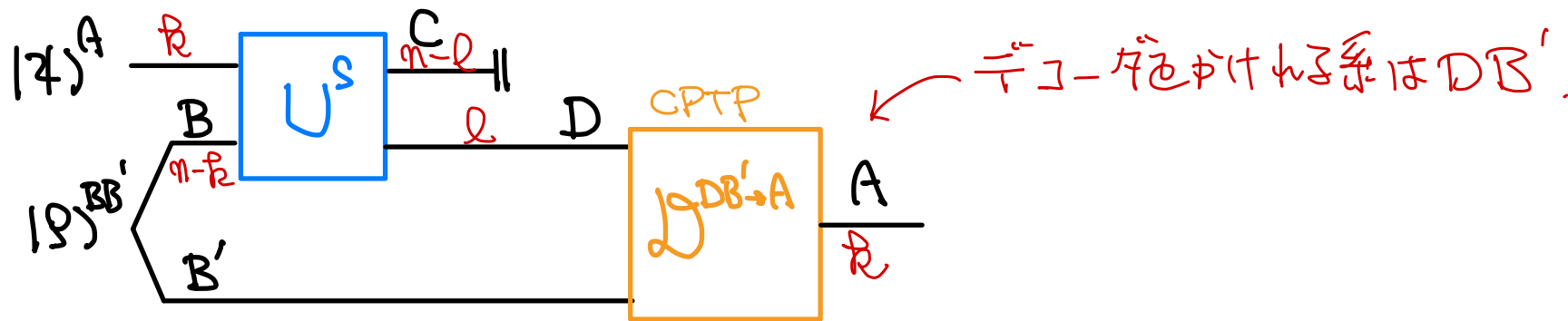


「箱」の中
 大きさは決まる。

$$d_0 \geq d_{\min} \times d_A \Leftrightarrow |7\rangle \text{ の復元可能}$$

2-4. HP プロトコル 2.

一般の場合 A は、どの状態を出力する?



- ① C-DB' 間のエントロピーが最大か?
- ② Collision-free? ($\Psi^{DB'}(\psi) \perp \Psi^{DB'}(\psi')$?)

①: 出力が最大か!!

$$E_{\psi} [H(C)_{\Psi}] \approx \log d_C - \frac{1}{\ln 2} \frac{d_C}{d_D 2^{H_2(B)_{\psi}}} \text{ (extra term)}$$

$\Rightarrow d_C \leq d_D 2^{H_2(B)_{\psi}}$ である。C-DB' 間には最大エントロピーが実現する。

$$\Leftrightarrow \Psi_{(Z)}^{DB'} \approx \frac{\prod^{DB'}}{d_c} \leftarrow \text{rank } d_c \text{ の 射影演算子.}$$

② やんばこき子!!

$$|\langle \Psi_{(Z)}^{DB'}, \Psi_{(Z')}^{DB'} \rangle| = \text{Tr} [\Psi_{(Z)}^{DB'} \Psi_{(Z')}^{DB'}] \approx \frac{1}{d_D 2^{H_2(B)_p}}$$

$$\|\Psi_{(Z \text{ or } Z')}^{DB'}\|_2 \approx \sqrt{\frac{1}{d_c}}$$

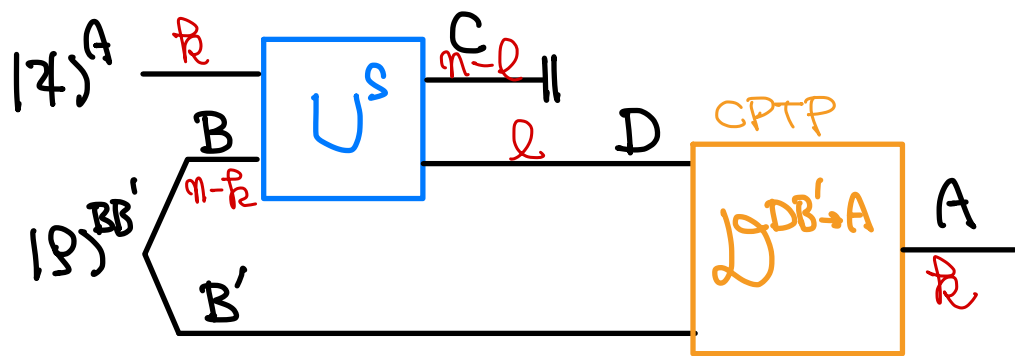
$$\hookrightarrow \frac{|\langle \Psi_{(Z)}^{DB'}, \Psi_{(Z')}^{DB'} \rangle|}{\|\Psi_{(Z)}^{DB'}\|_2 \|\Psi_{(Z')}^{DB'}\|_2} \approx \frac{d_c}{d_D 2^{H_2(B)_p}}$$

$\Leftrightarrow d_c \ll d_D 2^{H_2(B)_p}$ ならば "Collision-free" である。

衝突なし one pair は

①と②を認めれば、復元可能な条件は以下になります。

$$\begin{array}{ccc}
 \text{系 } DB' \text{ の大きさ} & \geq & \Psi^{DB'} \text{ の rank} \times A \text{ 系と直交する状態の工夫} \\
 \text{~~~~~} & & \parallel \qquad \qquad \parallel \\
 & & d_C \qquad \qquad d_A \\
 & & \text{d} \times \text{d}_{B'} \\
 & & \text{~~~~~} \\
 & & \text{????} \\
 & & \text{...}
 \end{array}$$



例として:

$$\begin{aligned}
 | \rho \rangle^{B' B} &= (1-\epsilon) | 0 \rangle^B | 0 \rangle^{B'} \\
 &+ \frac{\epsilon}{M} (| 1 \rangle^B | 1 \rangle^{B'} + \dots \\
 &+ | M \rangle^B | M \rangle^{B'})
 \end{aligned}$$

Schmidt 分解

たとえばすると、

$$| \rho \rangle^{B' B} \approx | 0 \rangle^B | 0 \rangle^{B'}$$

たのち、集積的に $d_{B'} \approx 1$.

一般には、 $d_{B'} \approx 2^{p_B \cap I = \{0\}^c} = 2^{H_2(B)_p}$
 effective には、
 ↑ $=$ 必ず H_2 が 0 ではない。

この観察から、

① $d_D \times 2^{H_2(B)_p} \geq d_C d_A \iff$ 復元可能.

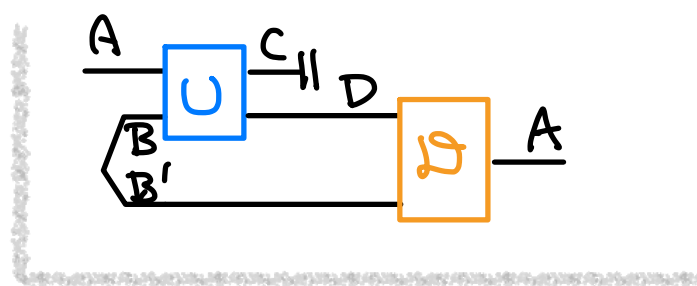
\iff
 $l \geq \frac{n + k - H_2(B)_p}{2}$

NOTE

①が満たされずには、
 ①と②の条件 $d_D 2^{H_2} \geq d_C$ も
 満たされず。

Ψ^C BH
 $n-l$ qubits

$$Q_{th} = \frac{n + k - H_2(B)_p}{2}$$



$$\mathbb{R} \begin{pmatrix} 1 & & & \\ & \ddots & & \\ & & 0 & \\ & & & \ddots & \\ & & & & 0 \end{pmatrix}$$

$$\mathbb{R} \begin{pmatrix} 1 & & & \\ & \ddots & & \\ & & 0 & \\ & & & \ddots & \\ & & & & 1 \end{pmatrix}$$

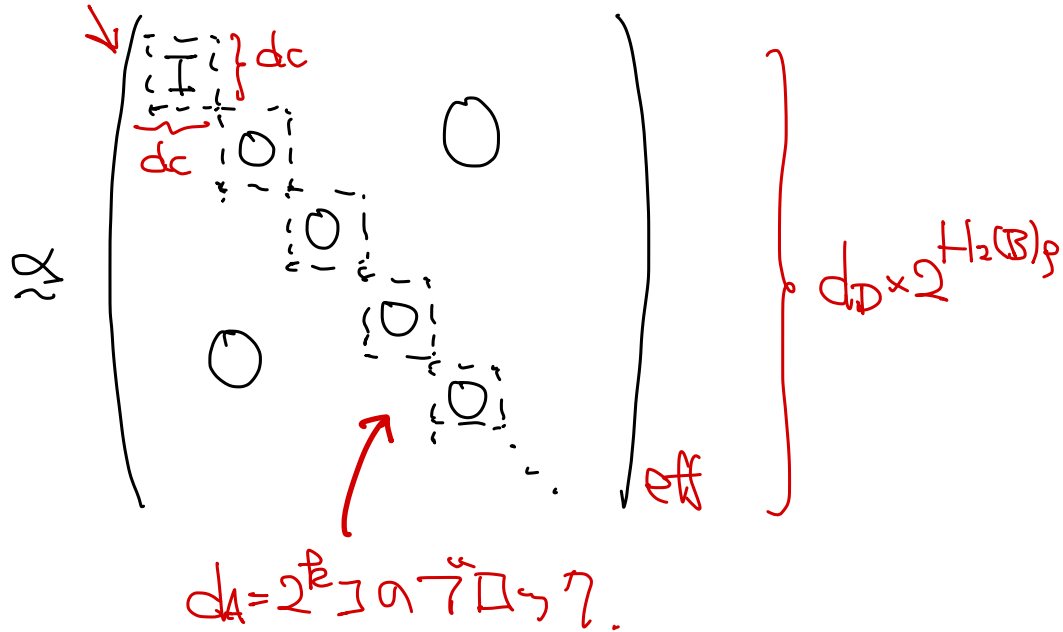
$$d \sim I^C$$



$$\mathbb{R} \begin{pmatrix} 1 & 0 \\ 0 & 1 \end{pmatrix} \text{eff.}$$

$$\mathbb{R} \begin{pmatrix} 1 & & & \\ & \ddots & & \\ & & 0 & \\ & & & \ddots & \\ & & & & 1 \end{pmatrix} \text{eff.}$$

$$\mathbb{R} \begin{pmatrix} 1 & & & & & \\ & \ddots & & & & \\ & & 0 & & & \\ & & & \ddots & & \\ & & & & 1 & \\ & & & & & \ddots & \\ & & & & & & 0 & \\ & & & & & & & \ddots & \\ & & & & & & & & 1 \end{pmatrix} \text{eff.}$$



$\Psi^{DB'}$ New radiation
 l qubits
 + Old radiation " $H_2(B)_p$ " qubits.

ここまでのメッセージ:

Haar \rightarrow ガム・ユ=タリ を使った3限り。

- ① Max エンタルピー
- ② Collision-free

“箱”の大きさだけで Δ を “決まり” する。

= ヒルベルト空間の次元
↑
率始的な

Remark.

- Haar が 絶対必要 ~~に~~ 必要 ~~な~~ 3 限りではない。

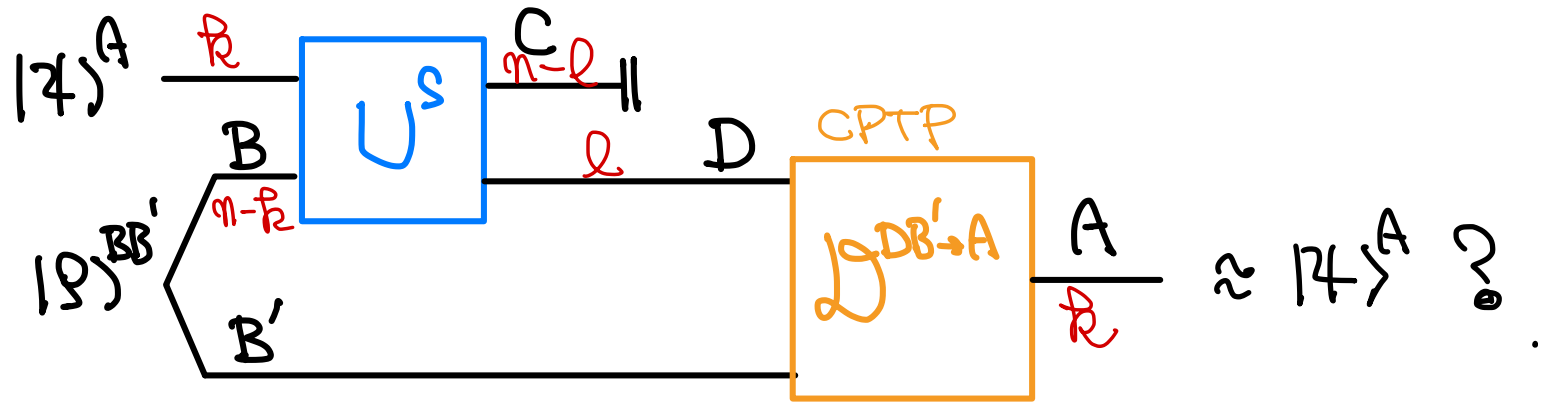
例) ユ=タリ 2-design なども。クワード・ユ=タリ なども。

e^{-iHt} (H は 十分 “複雑”) なども OK. と期待される。

3. Hayde=Preskill : 3000.

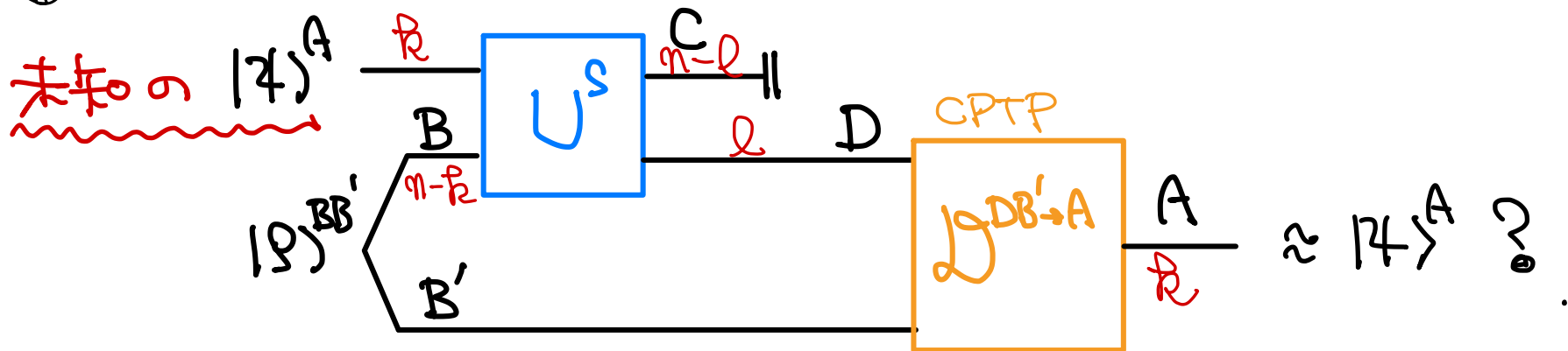
こまじの語は直観的に分かった (中をしない) 中、
 何かを証明するには hand-waving をせよ役に立たない酒飲み話。

3-1. “復元”とは?



- ① $|\psi\rangle$ の何が? \rightsquigarrow 量子情報源 (Q. info. source)
- ② $\approx |\psi\rangle$ の何が? \rightsquigarrow 距離.

①



“未知”をどのように定式化するか？

↳ 1つの方法は、確率分布を継ぐこと。例：ギャンブル

↳ “確率 p_j での $|psi_j>$ ” と定式化すればよい。

$$\Leftrightarrow \text{ギャンブル } \{p_j, |psi_j>\}_j$$

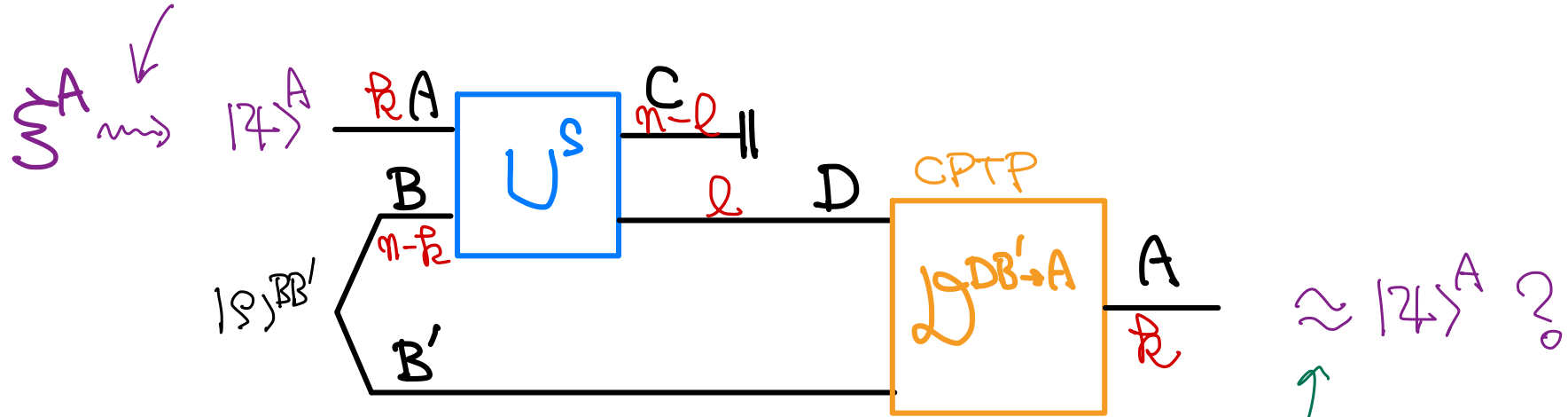
ギャンブルを用いた定式化は、量子では危険!! \Rightarrow 密度行列 $\sum_j p_j |psi_j><psi_j|$

eg.) $\sum_j p_j |psi_j><psi_j| = \sum_{\alpha} p_{\alpha} |psi_{\alpha}><psi_{\alpha}|$ ならば、 $\{p_j, |psi_j>\}_j = \{p_{\alpha}, |psi_{\alpha}>\}_{\alpha}$ は物理的に識別不可能。

Σ^A : 密度行列は、純粋状態の集合上の確率分布を与えるもの、

量子情報源、

"サイコロ投げ"と、 Σ^A が出力する確率の分布、 $|4\rangle^A$ が出力する。



Σ^A が $|4\rangle^A$ を出したときには、
この状態も $|4\rangle^A$ である。

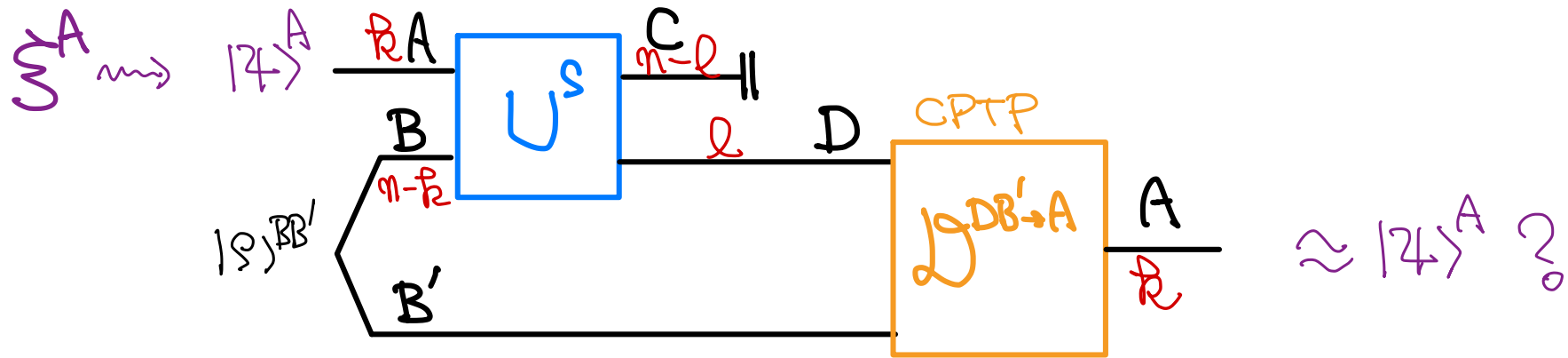
どうやって定式化するよか?

|| 出力状態 - $|4\rangle \langle 4|^A$ || を "確率分布" Σ^A で平均したい!!

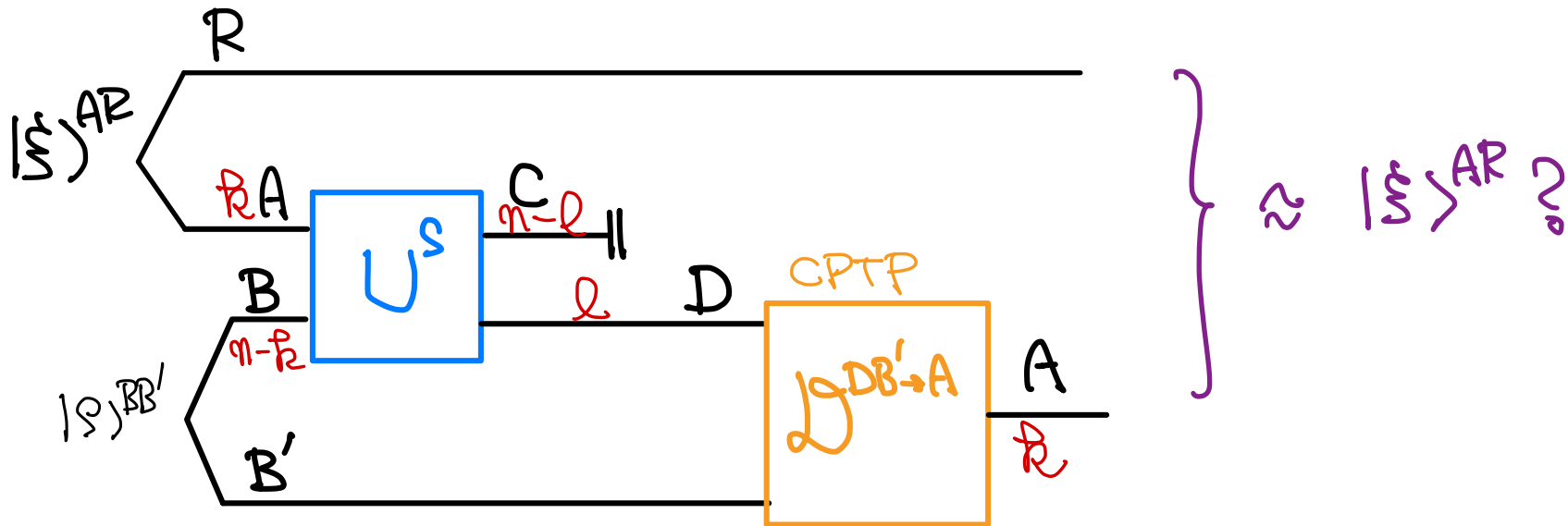
サイコロが $|4\rangle$ を出したという条件の
もとの、期待値のようー。

これはよく分らない。

量子情報は、17L=2Rと導入して、純粋化 $|\Sigma\rangle^{AR}$ を用いる。

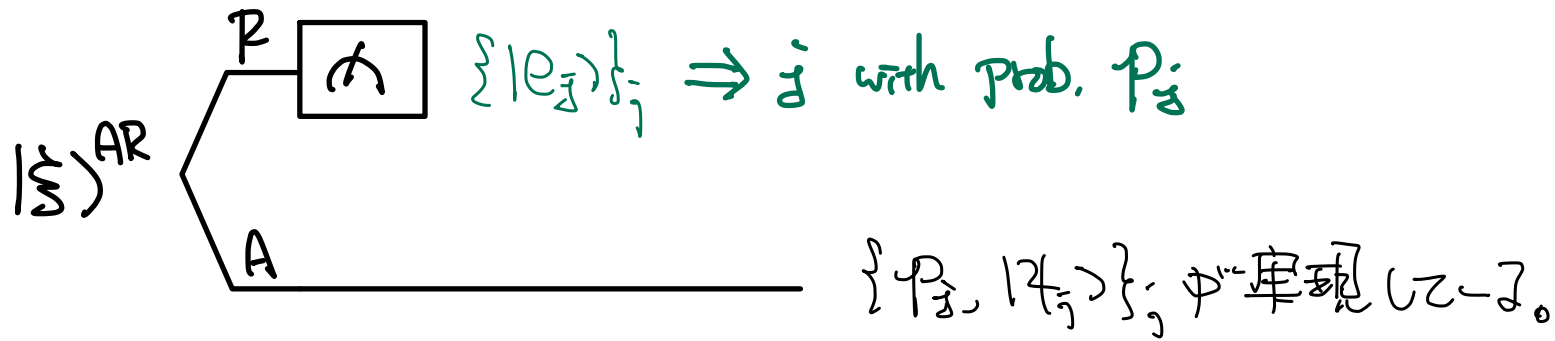


標準化形式化.



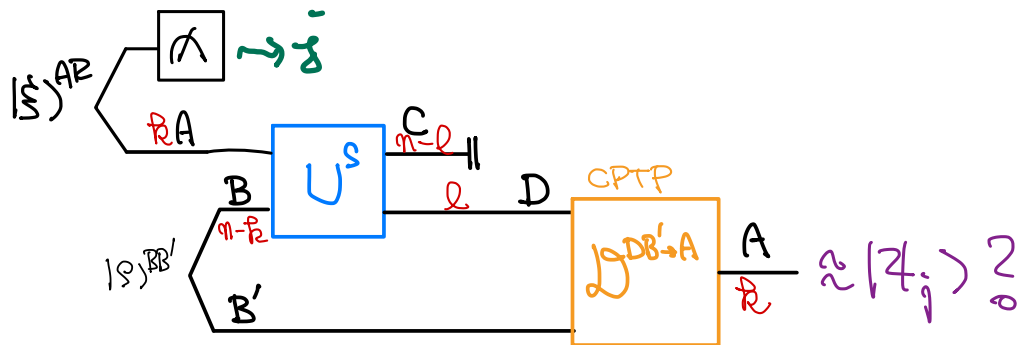
なぜこれが“よい”とされているのか

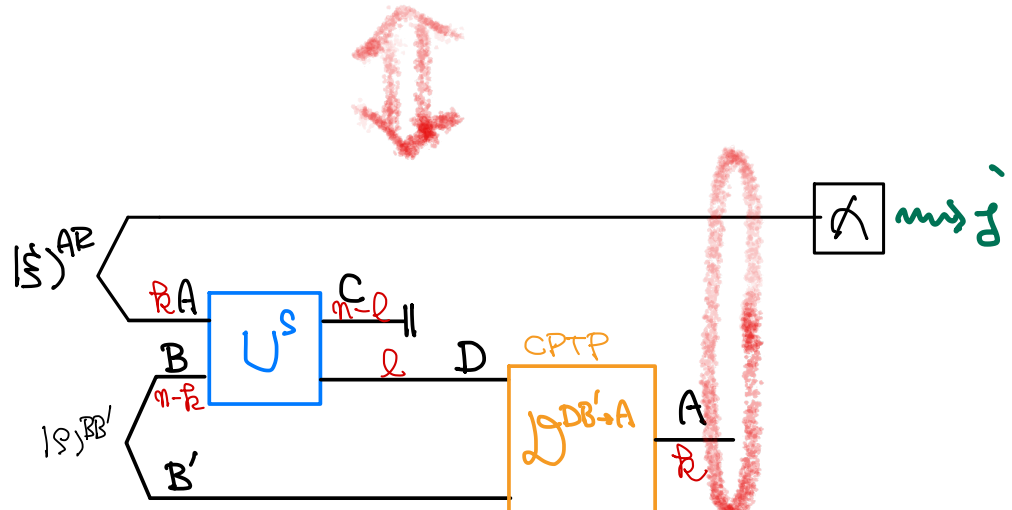
“ $|\xi\rangle^{AR}$ の R を適切に測定する事で、系 A には密度行列 ρ^A があり、任意のサンプル $\{P_j, |z_j\rangle\}_j$ を実現できる。”



↳ この理解に基づくと、これまでのシナリオを以下の書き換えする。

これまでの描像 (平均の取り方がよくなる)





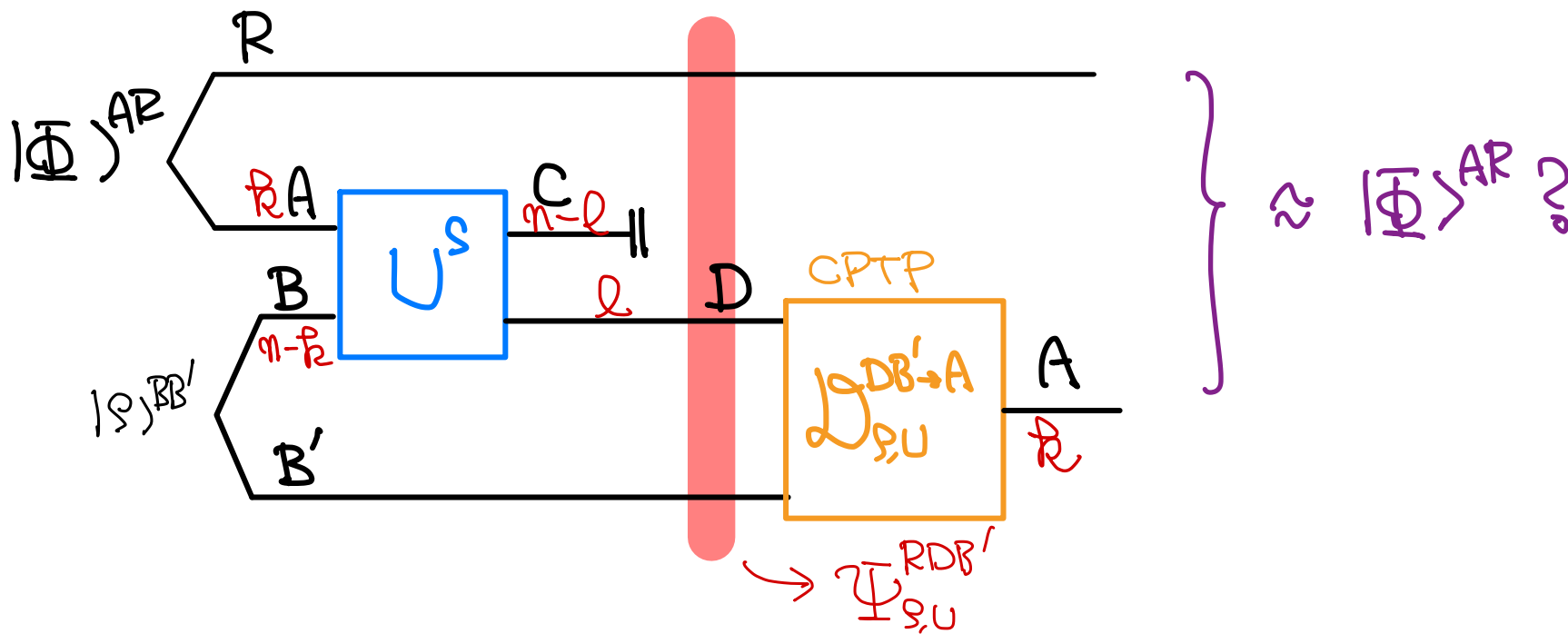
この段階のエラーを定めようという考え。

以下では、この方法でHPプロトコルの復元エラーを定めます。

特に、バイアスのない量子情報源を考えると、

$\sum^A = \pi^A$ なのぞ、 $|S\rangle_{AR} = |\Phi\rangle_{AR} : \max. \text{エ=ア=カシ状態}$
 完全混合状態 とする。

HP プロトコルの書き方。



$$\Delta(S, U, \mathcal{D}) := \frac{1}{2} \left\| \mathcal{D}_{S,U}^{DB' \rightarrow A} (\Psi_{S,U}^{RDB'}) - |\Phi\rangle\langle\Phi|_{AR} \right\|_1$$

↓ 規格化

$$0 \leq \Delta \leq 1.$$

トL-ス距離

$$\|O\|_1 := \text{Tr} \sqrt{O^\dagger O}$$

(固有値の絶対値の和)

ベストなデータ-データを考えた。の2。

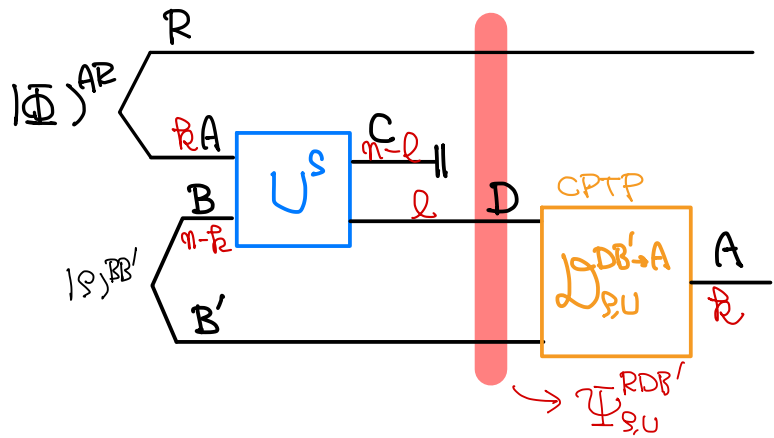
$$\Delta(P, U) := \inf_{\mathcal{D}: \text{CPTP}} \Delta(P, U, \mathcal{D}) \quad \circ$$

Haar ρ = ダム 1 の2。平均をと、2しませ。

$$\overline{\Delta}(P) := \mathbb{E}_{U \sim \text{Haar}} [\Delta(P, U)] \circ$$

標準的なHPの復元エラー。

3-2. 解析手法.



$\approx |\Phi\rangle_{AR}?$

$$\bar{\Delta}(P) := \frac{1}{2} \mathbb{E}_U \left[\inf_{\mathcal{Q}} \left\| L_{S,U}^{DB' \rightarrow A} (\Psi_{S,U}^{RDB'}) - |\Phi\rangle\langle\Phi|_{AR} \right\|_1 \right]$$

「 $\Psi_{S,U}^{RDB'}$ 」を「 $\Psi_{S,U}^{RC}$ 」に置き換える。

$\Psi_{S,U}^{RDB'}$ を考える代わりに、 $\Psi_{S,U}^{RC}$ を考える。

$\|L_{S,U}^{DB' \rightarrow A} - \text{self-adjoint, trace-preserving } C\|$

A 問題

以下を満たす C 系の状態 σ^C が存在したとす。

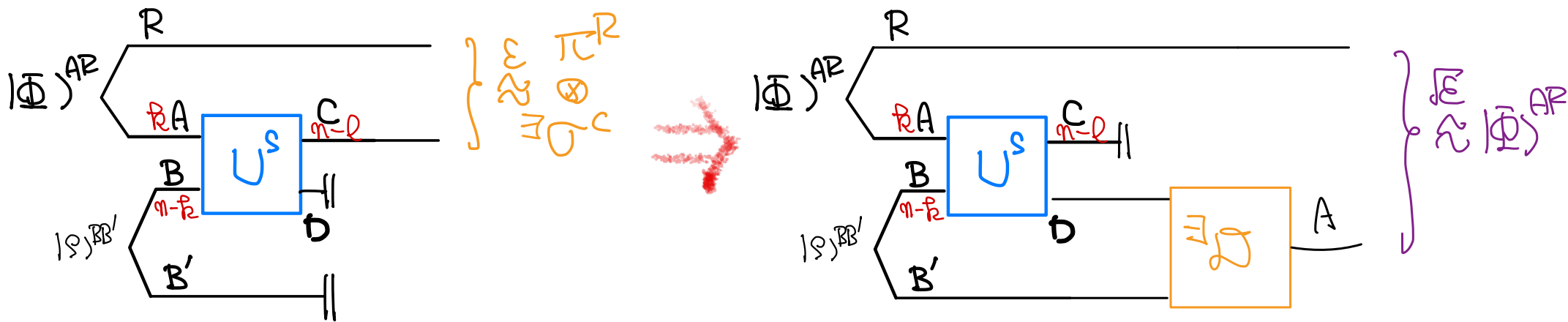
$$\| \Psi_{S,U}^{RC} - \underbrace{\pi^R}_{\text{縮約密度行列}} \otimes \sigma^C \|_1 \leq \epsilon.$$

↑ $(\mathbb{R})^A$ の縮約密度行列.

このとき.

$$\Delta(\rho_U, \mathcal{D}_{S,U}) \leq \sqrt{\epsilon}$$

ϵ に対して $\vec{T} - \vec{T} \mathcal{D}_{S,U}^{DB' \rightarrow A}$ が存在する。



証明の準備: 純粋化の自由度の近似版.

変形, Uhlmann の定理.

ρ^A と σ^A の純粋化を $|\rho\rangle^{AB}$, $|\sigma\rangle^{AC}$ ($B \leq C$) とする。

了いよとり $V^{B \rightarrow C}$ として

$$\|\rho^A - \sigma^A\|_1 \leq \varepsilon \Rightarrow \left\| |\sigma\rangle\langle\sigma|^{AC} - V^{B \rightarrow C} |\rho\rangle\langle\rho|^{AB} (V^{B \rightarrow C})^\dagger \right\|_1 \leq 2\sqrt{\varepsilon}$$

をみたすものが存在。

Remark $\rho^A = \sigma^A$ とすれば、純粋化の自由度の定理。

命題はこの整理を用いて直ちに従う。

Proof)

$$\| \underbrace{\Psi_{\rho,0}^{RC}} - \underbrace{\pi^R \otimes \sigma^C} \|_1 \leq \varepsilon. \quad (\text{仮定})$$

純粋化

$$|\Psi_{\rho,0}\rangle^{RCDB'}$$

$$|\Phi\rangle^{AR} \otimes |\sigma\rangle^{CC'}$$

(C' は $\varepsilon/2$ の子)

よって、存在する $V^{DB' \rightarrow AC'}$ を存在して、

$$V^{DB' \rightarrow AC'} |\Psi_{\rho,0}\rangle^{RCDB'} \leq 2\sqrt{\varepsilon} \approx |\Phi\rangle^{AR} \otimes |\sigma\rangle^{CC'}$$

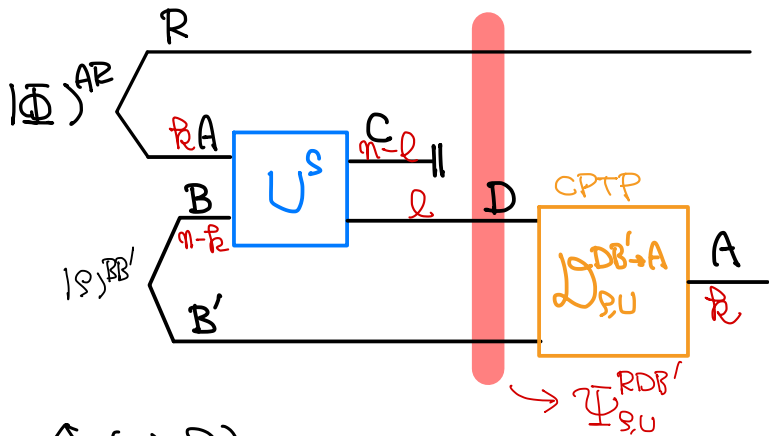
CC' は $1-\varepsilon/2$ の子と、($1-\varepsilon/2$ の子 $\|\cdot\|_1$ は $\varepsilon/2$ の子)

$$\int_{DB' \rightarrow A} (\Psi_{\rho,0}^{RCDB'}) \leq 2\sqrt{\varepsilon} \approx |\Phi \times \Phi|^{AR}$$

$$\Leftrightarrow \Delta(U, \rho, \sigma) \leq \sqrt{\varepsilon}$$

(規格化を $\frac{1}{\sqrt{2}}$ とする)





$\approx |\Phi\rangle^{AR}?$

$$\bar{\Delta}(\rho) := \frac{1}{2} \mathbb{E}_U \left[\inf_{\mathcal{D}} \left\| \mathcal{L}_{S,U}^{DB' \rightarrow A} (\Psi_{S,U}^{RDB'}) - |\Phi\rangle\langle\Phi|^{AR} \right\|_1 \right]$$

$\Delta(U, \rho)$

" $\inf_{\mathcal{D}: \text{CPTP}} \Delta(U, \rho, \mathcal{D}) \leq \sqrt{\inf_{\sigma^C} \left\| \Psi_{S,U}^{RC} - \pi^R \otimes \sigma^C \right\|_1}$ "

$$\Rightarrow \bar{\Delta}(\rho) \leq \mathbb{E}_U \sqrt{\inf_{\sigma^C} \left\| \Psi_{S,U}^{RC} - \pi^R \otimes \sigma^C \right\|_1}$$

$$\leq \sqrt{\mathbb{E}_U \inf_{\sigma^C} \left\| \Psi_{S,U}^{RC} - \pi^R \otimes \sigma^C \right\|_1}$$

$$\leq \sqrt{\mathbb{E}_U \left\| \Psi_{S,U}^{RC} - \pi^R \otimes \pi^C \right\|_1}$$

→ "これはこの過程 $\Psi_{S,U}$ の平均状態 σ^C が π^C のはず" (Haar の $t=0$)

あとは予クニナルが計算.

$$\|\Theta^A\|_1^2 \leq d_A \text{Tr}[(\Theta^A)^2]$$

を用いて.

$$\overline{\Delta}(\rho) \leq \left(d_A \mathbb{E}_U [\text{Tr}(\mathbb{F}_{\rho,0}^{RC} - \tau^R \otimes \tau^C)] \right)^{1/4}$$

$$= \left(d_A \left\{ \underbrace{\mathbb{E}_U [\text{Tr}(\mathbb{F}_{\rho,0}^{RC})]} - \frac{1}{d_A d_C} \right\} \right)^{1/4}$$

これは SWAP 1/2 etc. の計算可.

$$\leq \left(\frac{d_A d_C}{d_D 2^{H_2(B|P)}} \right)^{1/4}$$

$$= 2^{\frac{1}{2} \left(\frac{n+R-H_2(B|P)}{2} - l \right)}$$

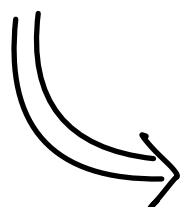
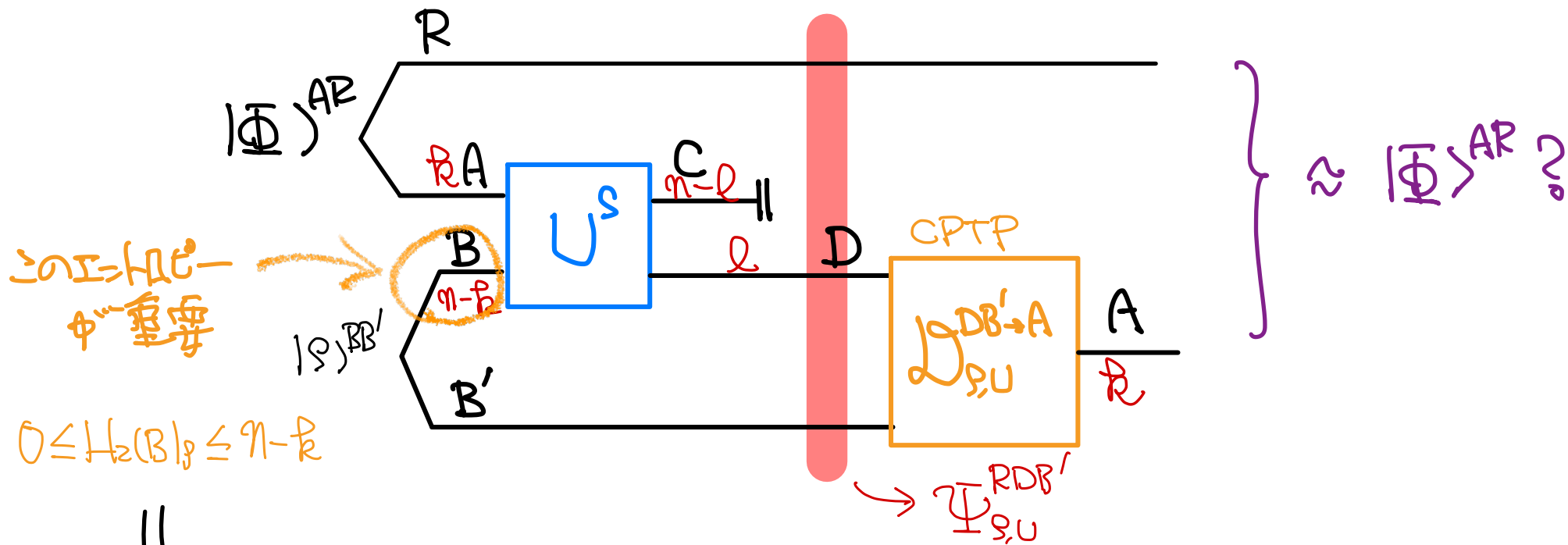
= lth.

直観的理解は
正しい!!

よ、いふこと、 $\overline{\Delta}(\rho) \leq \epsilon$ を達成する n には、

$$l \geq l_{th} + \log 1/\epsilon^2$$

の New Hawking 放射を集合 α として $\langle \alpha | \phi \rangle = \epsilon \langle \alpha | \phi \rangle_{\mathcal{R}}$



$$R \leq l_{th} \leq \frac{\eta + R}{2}$$

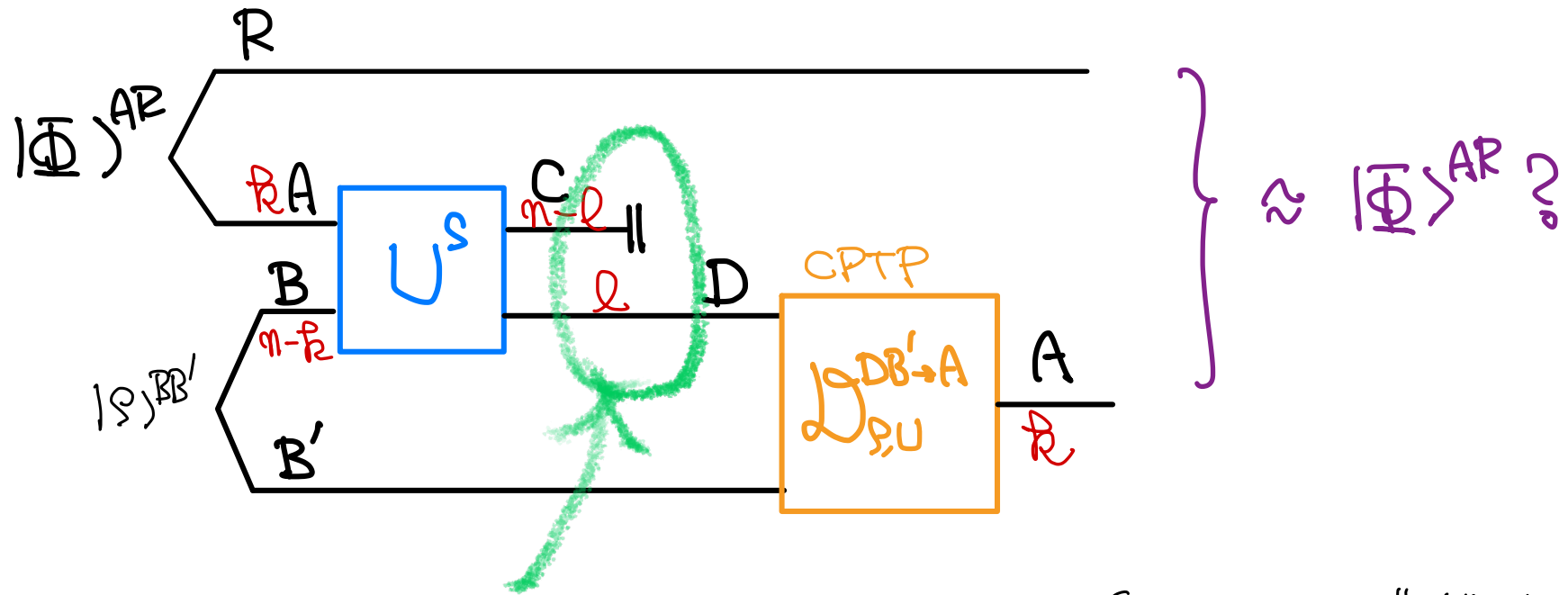
B のエントロピーが最大

$\Leftrightarrow B'$ の有効次元が最大

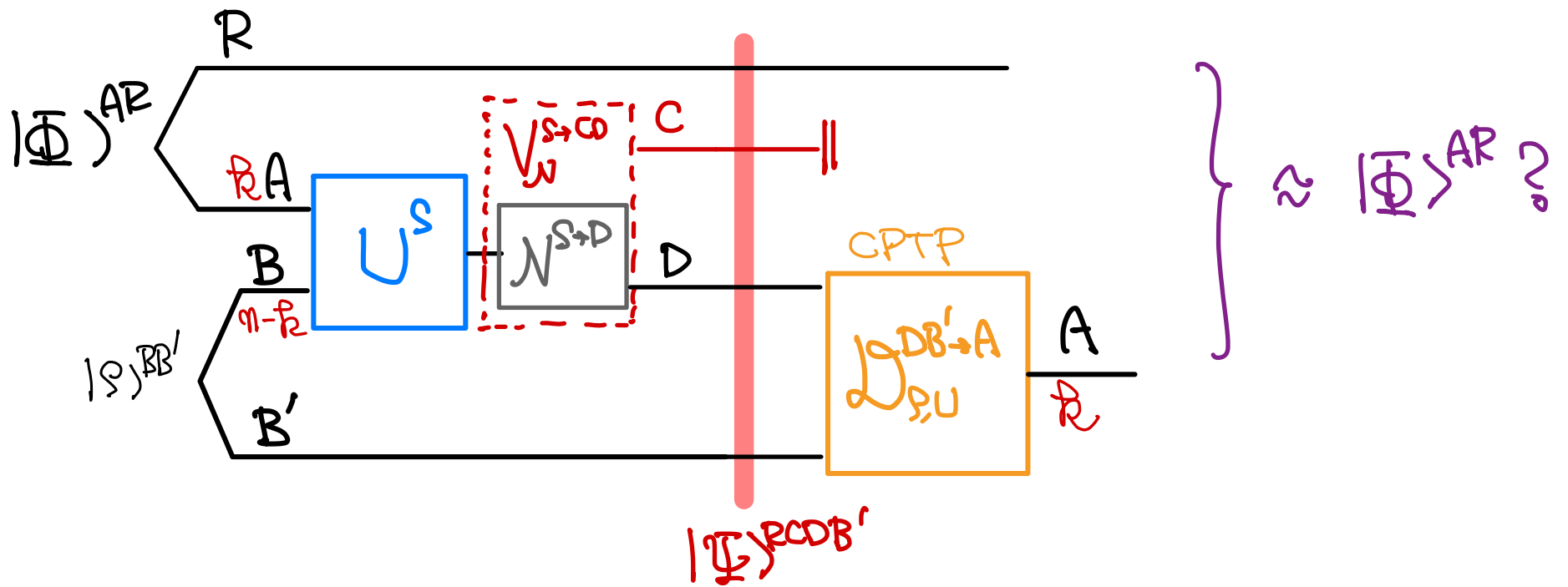
B のエントロピーが最小

$\Leftrightarrow B'$ の有効次元が最小

3-3. 総線：部分トレース以外の場合



- CをトレースアウトしたのはCが“残りのBH”だから。
- 量子情報的には最低でも、もう少し一般化しておく。
 → Sに一般の「ミス」
 が付きとる



- $N^{S \rightarrow D}$: ノイズを表す CPTP 写像
 - $V_W^{S \rightarrow CD}$: $N^{S \rightarrow D}$ の Stinespring 拡張 (314) (1.1)
- \Rightarrow $RCDB'$ は 純粋状態 $\rho_{R \otimes C}$ の ϵ -decoupling の $\frac{\epsilon}{2}$ $\rho_{S \otimes D}$ 存在。
- \Rightarrow $R \otimes C$ $\rho_{S \otimes D}$ decouple $\epsilon/2$ $\rho_{S \otimes D}$ 存在。よって $\exists \rho_{S \otimes D}$ 存在。

One-shot decoupling 定理 について。

$$\mathbb{E} \left[\left\| \Psi^{RC} - \pi^R \otimes \nu^C \right\|_1 \right] \leq 2^{-\frac{1}{2} (H_2(P) - h + H_2(SIC)_v)}$$

$$\text{ただし } \nu^{SC} := (\text{id}^S \otimes \mathcal{N}^{S \rightarrow C}) (|\Phi \times \bar{\Phi}\rangle^{SS'})$$

$$H_2(A|B)_\rho := -\log \inf_{\sigma^B: \text{state}} \text{Tr} \left[\left((\mathbb{I}^A \otimes \sigma^B)^{-1/4} \rho^{AB} (\mathbb{I}^A \otimes \sigma^B)^{-1/4} \right)^2 \right]$$

Renyi-2 条件付きエントロピー。

※ ために、 $H_2(A|B)_\rho = H_2(AB)_\rho - H_2(B)_\rho$ と表わす

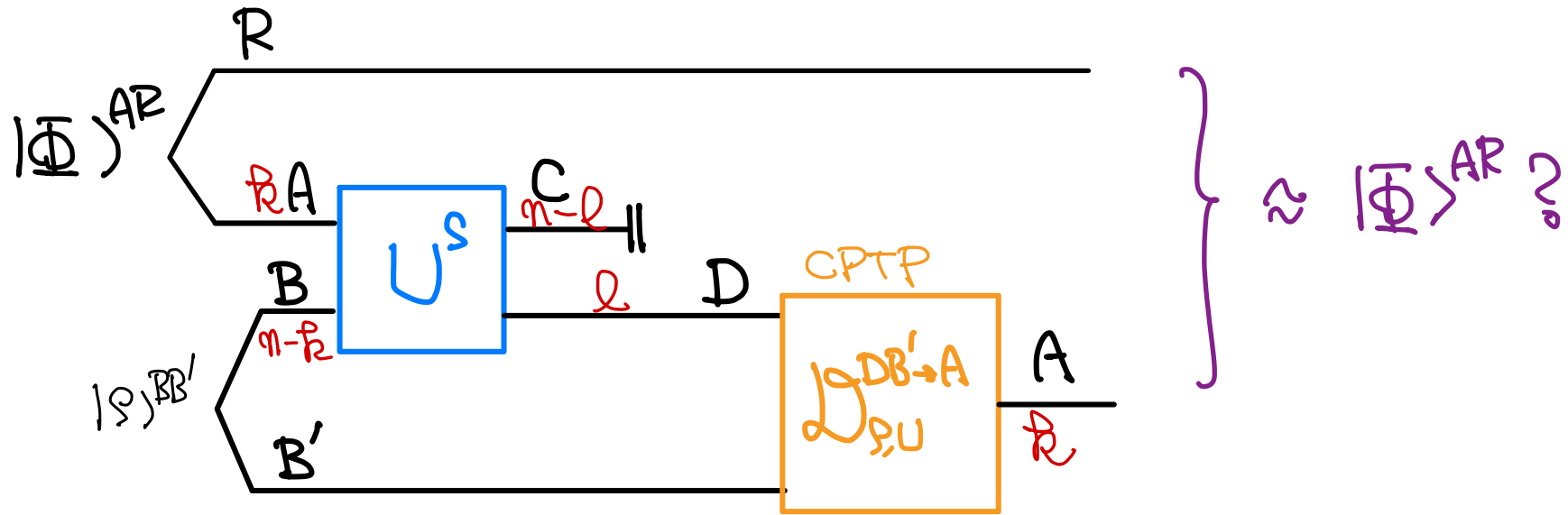
“やば” 論文があるが、やめよう...

→ この辺りを理解すれば、量子通信容量定理 も分かる。

→ 詳しくは「量子情報理論」の中。

4. Hayden-Preskill 应用.

4.1. エネルギー-等が保存される場合.



この場合は、 $U^S \sim \text{Haar} \rightarrow \mathcal{A}^S$ と仮定してきた

しかし、エネルギー-etc. p^u (近似的に) 保存される場合、Haar は おぼろげな。

$$\mathcal{A}^S = \bigoplus_e \mathcal{A}_e^S : \text{保存量 } e \text{ による Hilbert 空間の分解.}$$

$$\hookrightarrow U^S = \bigoplus_e U_e^S \text{ を考えてみる. (適当).}$$

部分空間内での Haar.

⇒ これまでの理解から、何が起るかも定量的に理解可能。

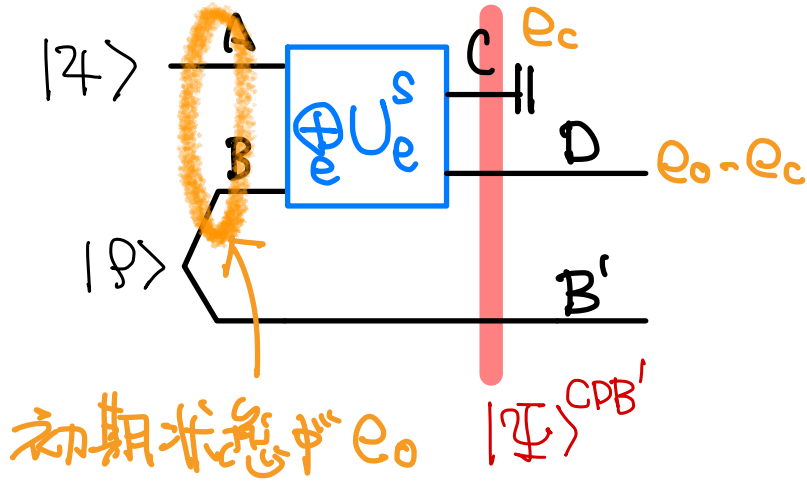
1. 情報復元の遅延

保存量がな場合

$$Q \geq Q_{th} = \frac{n+k-H(B|P)}{2} \quad \text{条件}$$

$$\Leftrightarrow d_D \times 2^{H(B|P)} \geq d_A \times d_C$$

d_D DB'の有効次元
 d_A Aの直交基底状態の数
 d_C $\Psi^{DB'}$ のランク



直観:

$\Psi^C \propto \begin{pmatrix} 1 & 0 \\ 0 & 1 \end{pmatrix}$, $\Psi^{DB'} \propto \begin{pmatrix} I & & \\ & 0 & \\ & & \ddots \\ & & & 0 \end{pmatrix}$

\Rightarrow 最大 \rightarrow A \rightarrow B' の衝突-free
 & Collision-free

$d_D \times 2^{H(B|P)}$
 d_A のランク

ABが初期に保存量 e_0 を持つ $\Rightarrow \text{supp}(\text{初期状態}) = \mathcal{H}_{e_0}^S$

$\bigoplus_e \mathcal{H}_e^S$ は、 \mathcal{H}^S の部分空間内だけ
この最大エネルギーが生成される。

この部分空間 $\mathcal{H}_{e_0}^S$ は、 $C \simeq D$ に以下のように分解。

$$\mathcal{H}_{e_0}^S = \bigoplus_{e_c=0}^{e_0} \mathcal{H}_{e_c}^C \otimes \mathcal{H}_{e_0-e_c}^D$$

C 系に保存量 e_c を
持つ部分空間。

D 系に保存量 $e_0 - e_c$ を
持つ部分空間。

この部分空間上の
状態 $\Psi_{e_c}^C$ は、

$$\Psi_{e_c}^C \propto \begin{pmatrix} 1 & 0 \\ 0 & 1 \end{pmatrix}$$

$\underbrace{\hspace{2cm}}_{\text{dim } \mathcal{H}_{e_c}^C}$

ただし、 $(\cdot) = \max\{0, \text{dim } \mathcal{H}_{e_c}^C - \text{dim } \mathcal{H}_{e_0}^C\}$

$$\Psi_{e_0-e_c}^D \propto \left(\begin{array}{c} \left[\begin{array}{cc} 1 & \dots \\ \dots & 1 \end{array} \right] \otimes \left[\begin{array}{c} 1 \\ \dots \\ 1 \end{array} \right] \\ \left[\begin{array}{c} 0 \\ \dots \\ 0 \end{array} \right] \\ \left[\begin{array}{c} 0 \\ \dots \\ 0 \end{array} \right] \end{array} \right)$$

$\underbrace{\hspace{10em}}_{\text{dim } \mathcal{H}_{e_0-e_c}^D \times 2}$ (top)

$$\Rightarrow \dim \mathcal{A}_{e_0-e_c}^D \times 2^{H(B)_p} \geq d_A \times \dim \mathcal{A}_{e_c}^C \quad \phi^m.$$

部分空間 $\mathcal{A}_{e_c}^C$ の $\mathcal{A}_{e_0-e_c}^D$ への "14) A を復元" できる条件 はない。

\Rightarrow ϕ^m 全 \mathbb{Z} の e_c へ成立すれば "よい" の \mathbb{Z} 。

$$\forall e_c=0, \dots, e_c, \quad \dim \mathcal{A}_{e_0-e_c}^D \times 2^{H(B)_p} \geq d_A \times \dim \mathcal{A}_{e_c}^C$$

よ: 直観的な復元条件と期合 一致。

← 実際には "まじか" なる $\square-4$ と一致する。

Remark 1: 部分空間への Haar \Rightarrow 次元が \mathbb{Z} 全 ϕ^m 決まる。

Remark 2: 実際には、あまり 小さい空間 ($\mathcal{A}_{e_c=0}^C$ など) は

$$\dim = \mathcal{O}(1).$$

\hookrightarrow \mathbb{Z} してもよい。

Remark 3: 結果として, l_{th} は $k \leq l$ なる,

と書ける見積もり). $0 < \alpha \leq 1$ として,

$$\dim \mathcal{A}_{e_c}^C = 2^{\alpha(n-l)} \quad , \quad \dim \mathcal{A}_{e_0-e_c}^D = 2^{\alpha l}$$

$(\dim \mathcal{A}^C = 2^{n-l}) \qquad \qquad (\dim \mathcal{A}^D = 2^l)$

と分かる.

$$l \geq \underbrace{\frac{n}{2} + \frac{R - H(\rho)_B}{2\alpha}}_{l_{th}^{new}} \geq \frac{n + R - H(\rho)_B}{2}$$

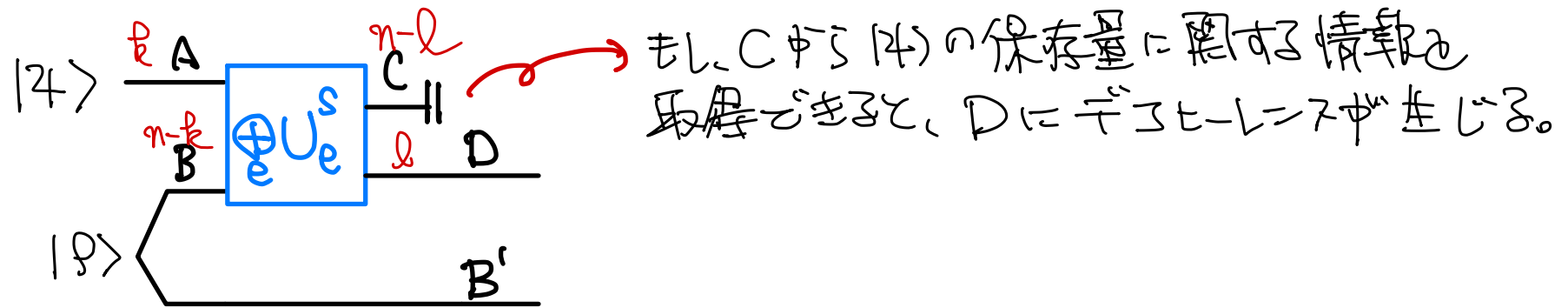
となり, $\delta^1)$ 及び $\delta^2)$ の New radiation μ^m の要は l_{th} なる.

→ $H(\rho)_B$ の最大値も同様に 2^{n-l} であり $\frac{1}{2}$ である.

$$0 \leq H(\rho)_B \leq \alpha(n-l).$$

$$\therefore \frac{1+\alpha}{2\alpha} R \leq l_{th}^{new} \leq \frac{n}{2} + \frac{R}{2\alpha}.$$

2. 情報の完全には復元できない



Cから $|l\rangle$ の保存量の情報を推定できるか？

1. l qubit の系 A によつて、系 S の保存量は $O(l)$ 変化する。
2. この $O(l)$ の変化は、C に引継がれず、 $\frac{n-l}{n} \times O(l)$ の変化になる。
3. 一方で、C にとらえ取ると、系 D が trace out されるので、
 そのせいで 保存量にゆらぎが生じる。

\hookrightarrow C は $n-l$ qubits 分の $O(\sqrt{n-l})$.

$$\text{つまり、} \quad \frac{n-l}{n} \times \Theta(R) \gg \Theta(\sqrt{n-l})$$

系Aの出力が速く起す
系Cの保存量の変化。

系Cが持つ保存量のゆらぎ。

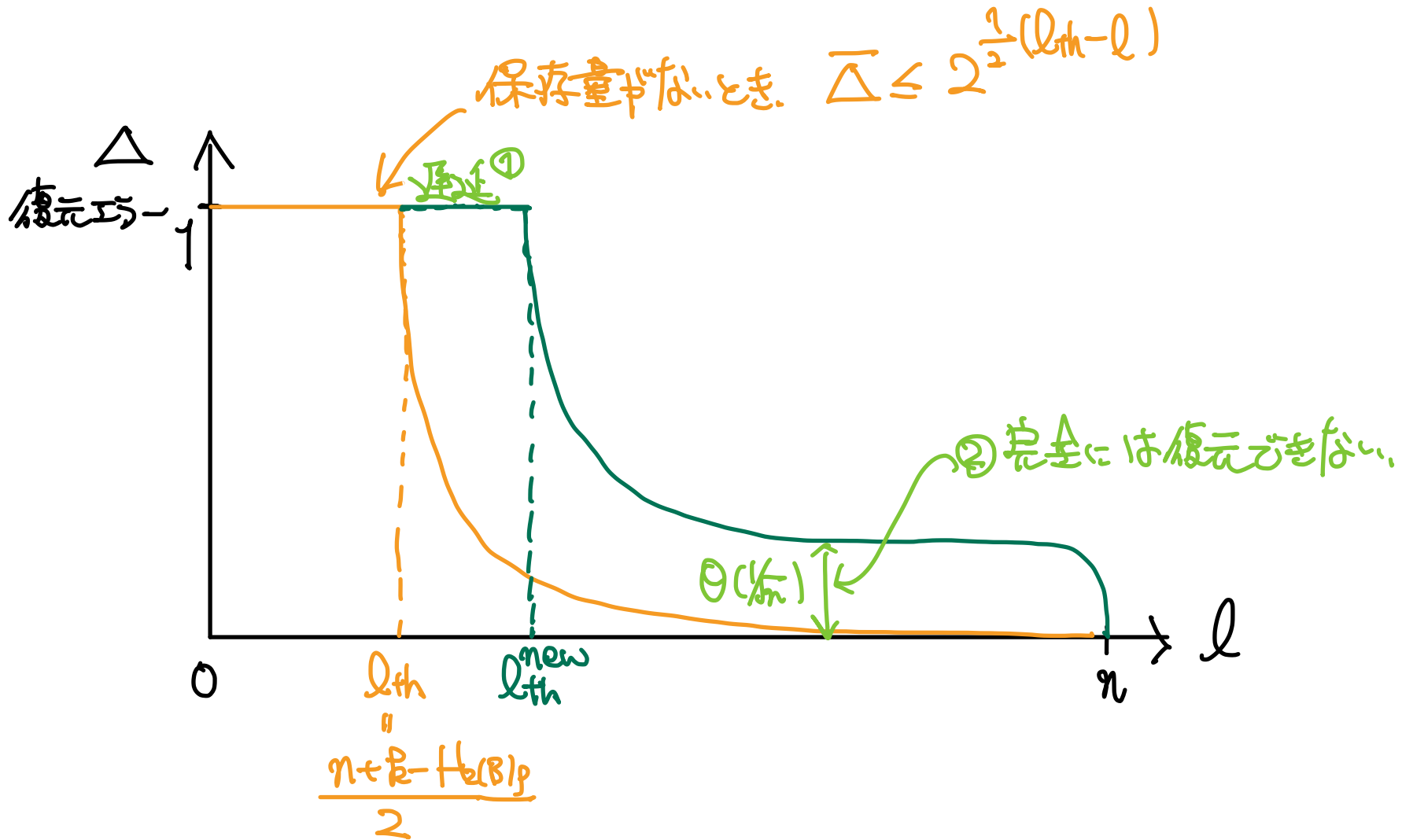
よければ、系Cから系Aの保存量を推定できる!!

$$\text{つまり、} \quad R \gg \Theta\left(\frac{n}{\sqrt{n-l}}\right) \approx \Theta(\sqrt{n})$$

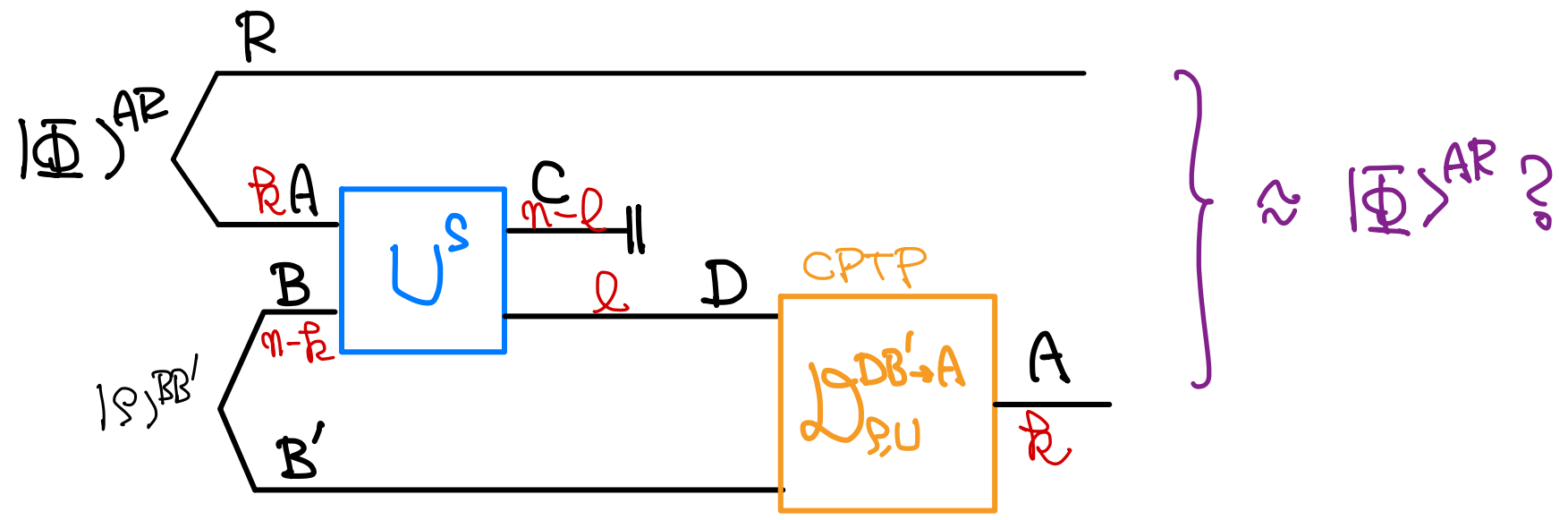
のときは、情報を完全に復元できないことになる。

→ 少なくとも具体例で確かめることが出来る。

1と2をまとめる.



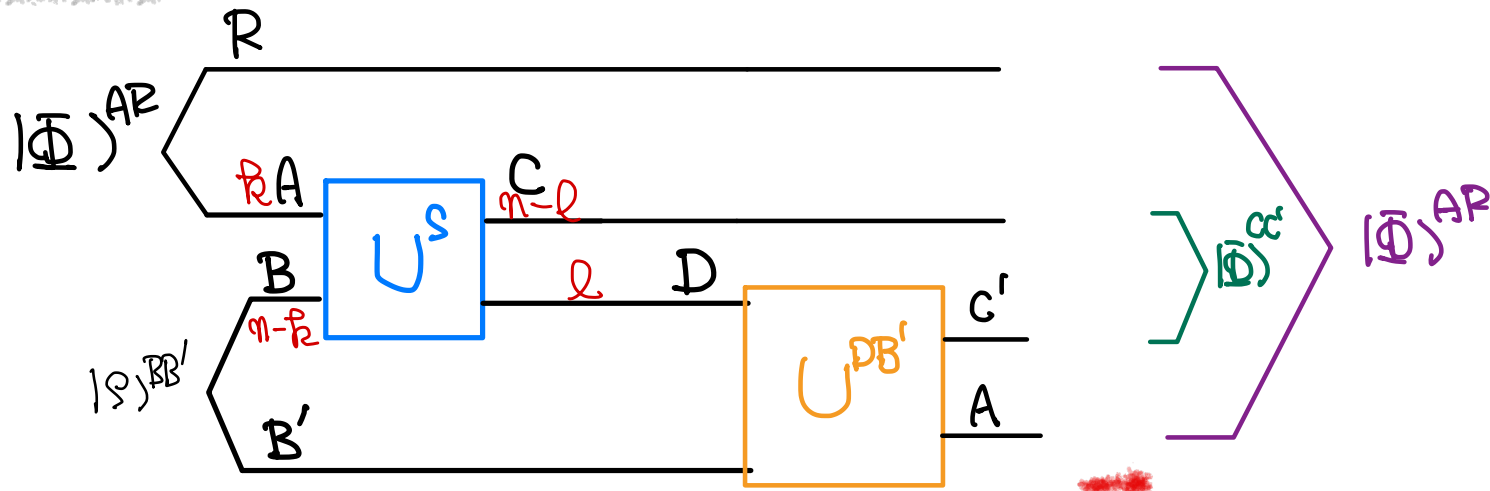
4-2. Hayden-Preskill のデコード.



デコードが可能なことは、“よいデコードが存在する” として言わない。
 (証明を述べれば “implicit = デコードを構成できる”、explicit ではない)

- 実際にはどうやってデコードすればよい?
- 効率的にデコードできる?
- $\Delta(P, U) = \sup_{\mathcal{D}} \Delta(P, U, \mathcal{D})$ ではなく、 $\Delta(P, U, \mathcal{D})$?

一般論



ユニタリ演算が実現しているとき、このようなユニタリが存在する。

つまり、ユニタリ演算が実現している場合は、

$$\mathcal{H}^{DB'} = \underbrace{\mathcal{H}^{C'}}_{\text{ユニ}} \otimes \underbrace{\mathcal{H}^A}_{\text{ユニ}} \quad \text{と分解できる。}$$

この部分空間が、 R と最大エンタングル。
 ($DB' = CA$ となるように調整)

ユニタリ演算が実現している \iff よい部分空間 $\mathcal{H}^A \subseteq \mathcal{H}^{DB'}$ をみつける。

Petz 復元写像

状態 σ^A と CPTP 写像 $\mathcal{T}^{A \rightarrow B} \in \mathcal{I} \# \mathcal{U}$. $\sigma_{\mathcal{T}}^B := \mathcal{T}^{A \rightarrow B}(\sigma^A)$ とする.

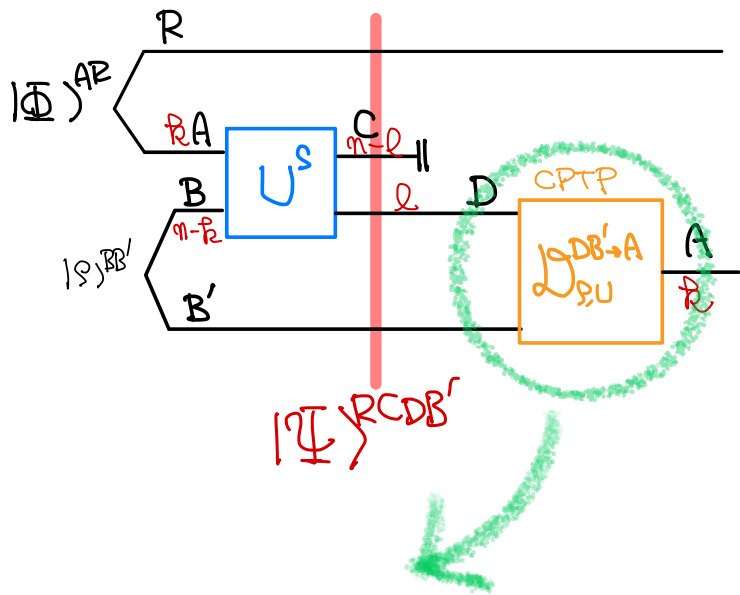
$$\text{Petz 写像: } \mathcal{P}_{\sigma, \mathcal{T}}^{B \rightarrow A} := \Gamma_{\sigma^{1/2}}^A \circ \mathcal{T}_{*}^{B \rightarrow A} \circ \Gamma_{\sigma_{\mathcal{T}}^{1/2}}^B$$

$$\Leftrightarrow \left\{ \begin{array}{l} \Gamma_{\rho}(\xi) := \rho \xi \rho^{\dagger} \\ \mathcal{T}_{*}^{B \rightarrow A} : \mathcal{T}^{A \rightarrow B} \text{ の adjoint map} \end{array} \right.$$

$$\left(\begin{array}{l} \text{i.e., } \text{Tr} [M^B \mathcal{T}^{A \rightarrow B}(N^A)] \\ = \text{Tr} [\mathcal{T}_{*}^{B \rightarrow A}(M^B) N^A] \end{array} \right)$$

定理: Petz を テーラー-A として用いると、最適な テーラー-A \mathcal{D}_{opt} $\in \mathcal{I} \# \mathcal{U}$.

$$\Delta(\rho, \sigma, \mathcal{D}_{\text{Petz}}) \leq \sqrt{\Delta(\rho, \sigma, \mathcal{D}_{\text{opt}})} \quad [\text{Barnum \& Knill, 2002}]$$



復元 $\Leftrightarrow - \Delta(\rho, \sigma) \leq 2^{I_2}$

$$\mathcal{D}_{\text{petz}}^{DB' \rightarrow A}(\Sigma^{DB'}) := \frac{d_C}{d_A} \langle \rho |^{BB'} U^{ST} \left(\pi_C^{\otimes C} (\Psi_{S,U}^{DB'})^{-1/2} \Sigma^{DB'} (\Psi_{S,U}^{DB'})^{-1/2} \right) U^S |\rho\rangle^{BB'}$$

Haar \rightarrow 平均して復元しないときも復元 $\Leftrightarrow -$

$$\begin{aligned} \Delta(\rho, \sigma, \mathcal{D}_{\text{petz}}) &\leq 1 - 2^{I_2(DB':R) - 2R} \\ &\leq 1 - 2^{I(DB':R) - 2R} \\ &= 1 - 2^{-I(C:R)} \end{aligned}$$

Remark

Petz 写像は“謎な”形をしており、 n 次元基底を量子回路で
知る。知る。

[Gilyen et al PRL 2022]

↪ 基底の個数 = $O(\exp(n) \exp(n))$ なのは **非効率的**。

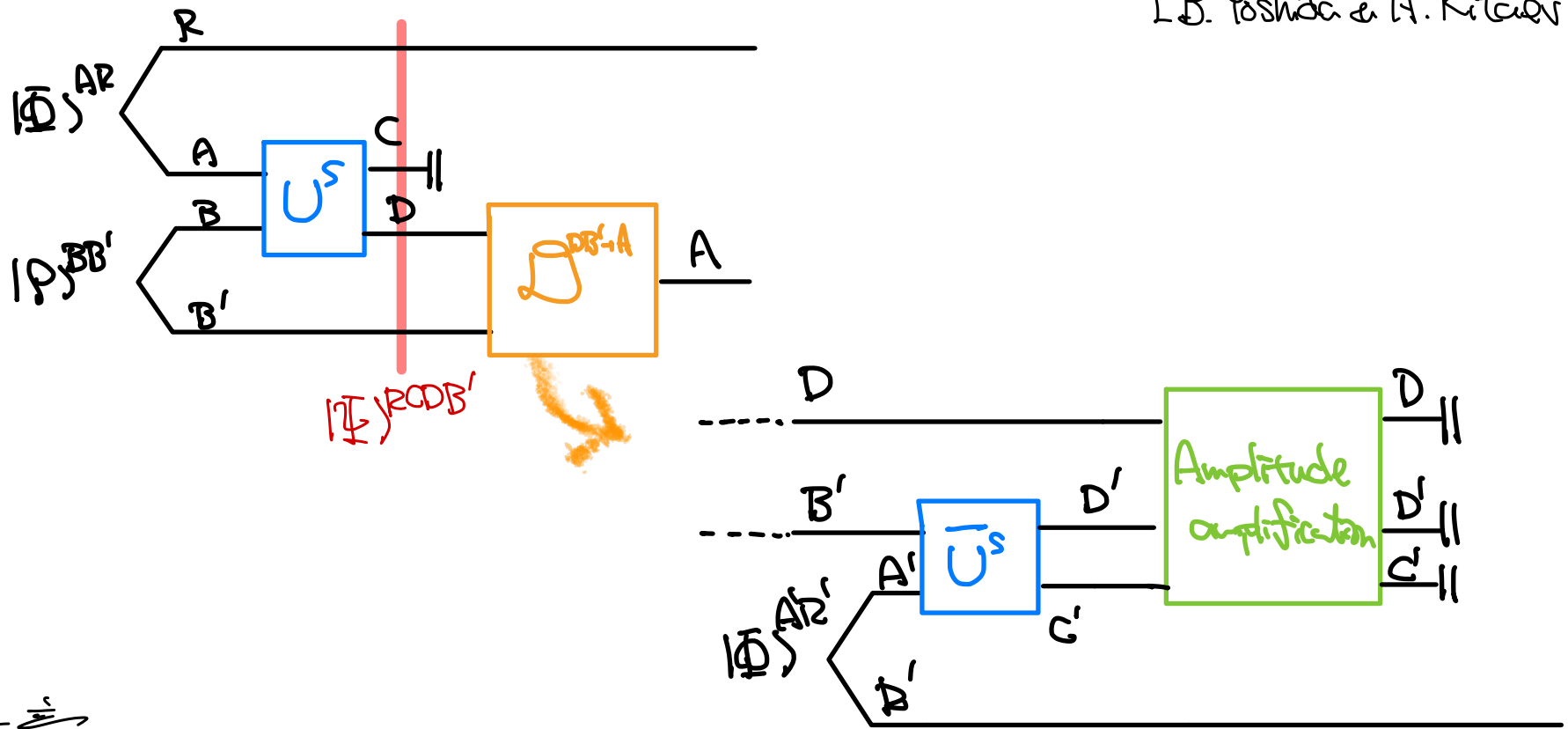


最近、Petz 写像をうまく“改良”することで、少し効率的に知られる。

[T. Utsami & Nobata, 2024]

Yoshida-Kitaev の方法 : "ノイズ" を simulate する!!

[B. Yoshida & A. Kitaev, 2017]



注意

- $|P\rangle^{BB'} = \frac{1}{\sqrt{r}} \sum_{j=1}^r |e_j\rangle^B |e_j\rangle^{B'}$ のように基底のときにもよく動く。
- HP 以外の一一般のノイズに対してもよく動く。
- 非効率:

$$\Delta(|\Phi\rangle = |\mathbb{I}\rangle, U, \mathcal{D}_{PK}) \leq \left(1 - 2^{H_2(B'D)_{\mathbb{I}} - H_2(B'DP)_{\mathbb{I}} - R} \right)^{1/2}$$

$$= \left(1 - \frac{1}{2^{2R} \langle \text{OTOC} \rangle} \right)^{1/2}$$

[B. Yoshida & N. Yao, PRX, 2018]

$$\Rightarrow \langle \text{OTOC} \rangle = \frac{1}{d_A^2 d_B^2 d_S} \sum_{\substack{P^A=Q^B \\ \text{Reli}}} \text{Tr} [P^A Q_U^P P^A Q_U^P]$$

$0 \leq \max \{ d_A^{-2}, d_B^{-2} \}$

$Q_U^P = U^S Q^P U^{S\dagger}$

従って、 $\mathbb{I} = A(\cdot) U^S = \delta(\cdot)$, $A \in \mathcal{D}$ の \mathbb{I} の OTOC の減衰

\Rightarrow TK の手法を復元可能。

Remark

“YKの手法はHPにしか使えない”

Upgrade!! → うまく改良すると、任意のノイズに拡張可能!!

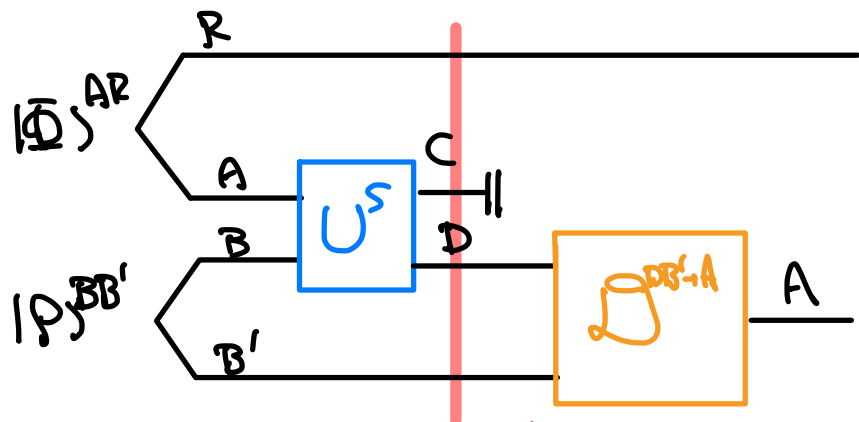
[T. Utsuni & Nobata, 2024]

.... 残念ながら、非効率。

Classical-to-Quantum ティー-ダ

“直観”に基づいたティ-ダ

[Nakata, Hatawara & Koashi,
npj Quantum Info. 2024]



$|\mathbb{F}\rangle^{RCD B'}$ ← A の $\{|e_j\rangle\}$ と S . DB' とも直交しているはず。

↓
測定すれば識別できる。

実は1つの基底ではなく、

2つの基底を2つ check すればよい。

相補的 ↷

$$\begin{aligned}
 |e_j\rangle^A &\longrightarrow \mathbb{F}_{e_j}^{DB'} \\
 |f_\alpha\rangle^A &\longrightarrow \mathbb{F}_{f_\alpha}^{DB'}
 \end{aligned}$$

とすると、2つの Renyi-2 エンタロピー $E = H_2(\rho)$ を

復元エラーが決まる。

Remark

- HP だけとはなく、任意のノイズに適応可能.
(near-optimal $\frac{1}{T} \log \frac{1}{\epsilon}$)
- 非効率.

デコ-ダのまとめ.

1. Petz 写像
2. Yoshida-Kitaev の手法 (の拡張)
3. Classical-to-Quantum 復号化.

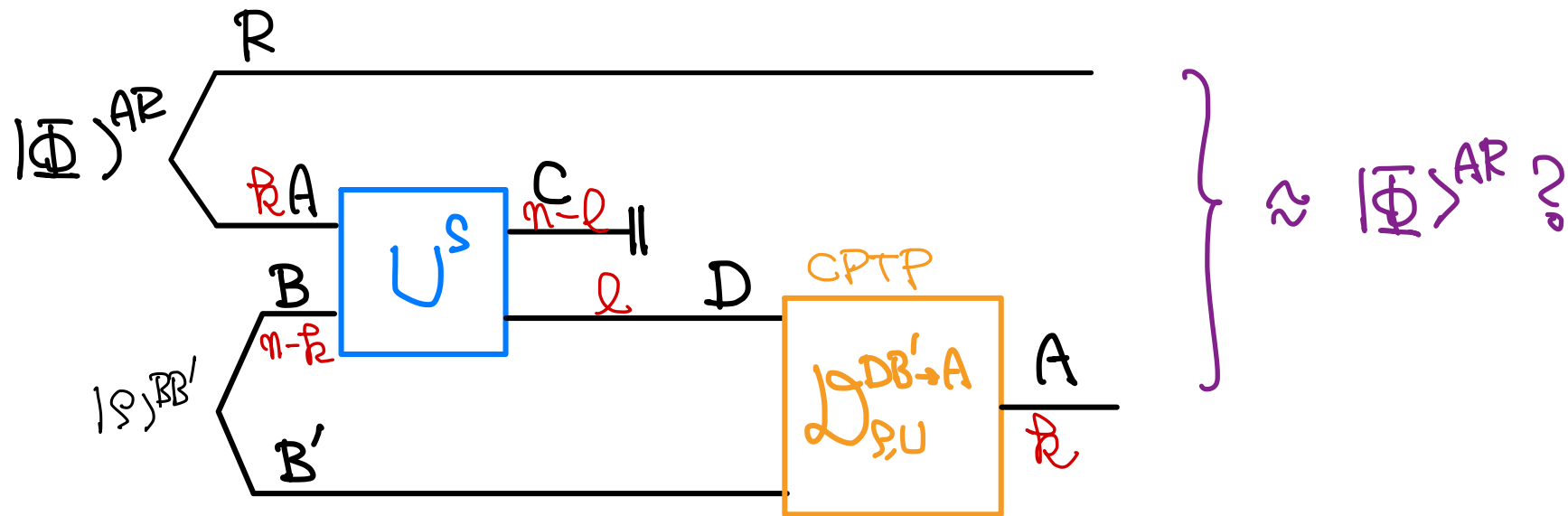
→ 任意のノイズに対して動くが、非効率。

ずっと興味があること。効率的なデコ-ダは存在するか？

NOTE: Haar ランダムを用いて ϵ と δ あり \Rightarrow $\epsilon = \delta^2$ でデコ-ダにできる。
任意のノイズに対して効率的なデコ-ダは存在しない \Rightarrow ノイズに何らかの仮定が必要。

6. ハミルトニアン系における
5. Hayden-Preskill.

5-1. ハミルトニアン = 時間発展



U^S が Haar \mathcal{D} -random というのは、"耳にすかす" の仮定。

→ $U^S = e^{-iHt}$ のときはどうなるか？

しばしば "H が カオティック な ハミルトニアン" とあるが、

同様の結果が得られるはず

という根拠不明な主張も耳にすかす、これは 全くの嘘。

反例:

$$\bullet H = \sum_j S_j \cdot S_{j+1} + \sum_j h_j Z_j$$

ランダム行列

Nakata, Tezuka

PRR 6, Lo22021
(2024)

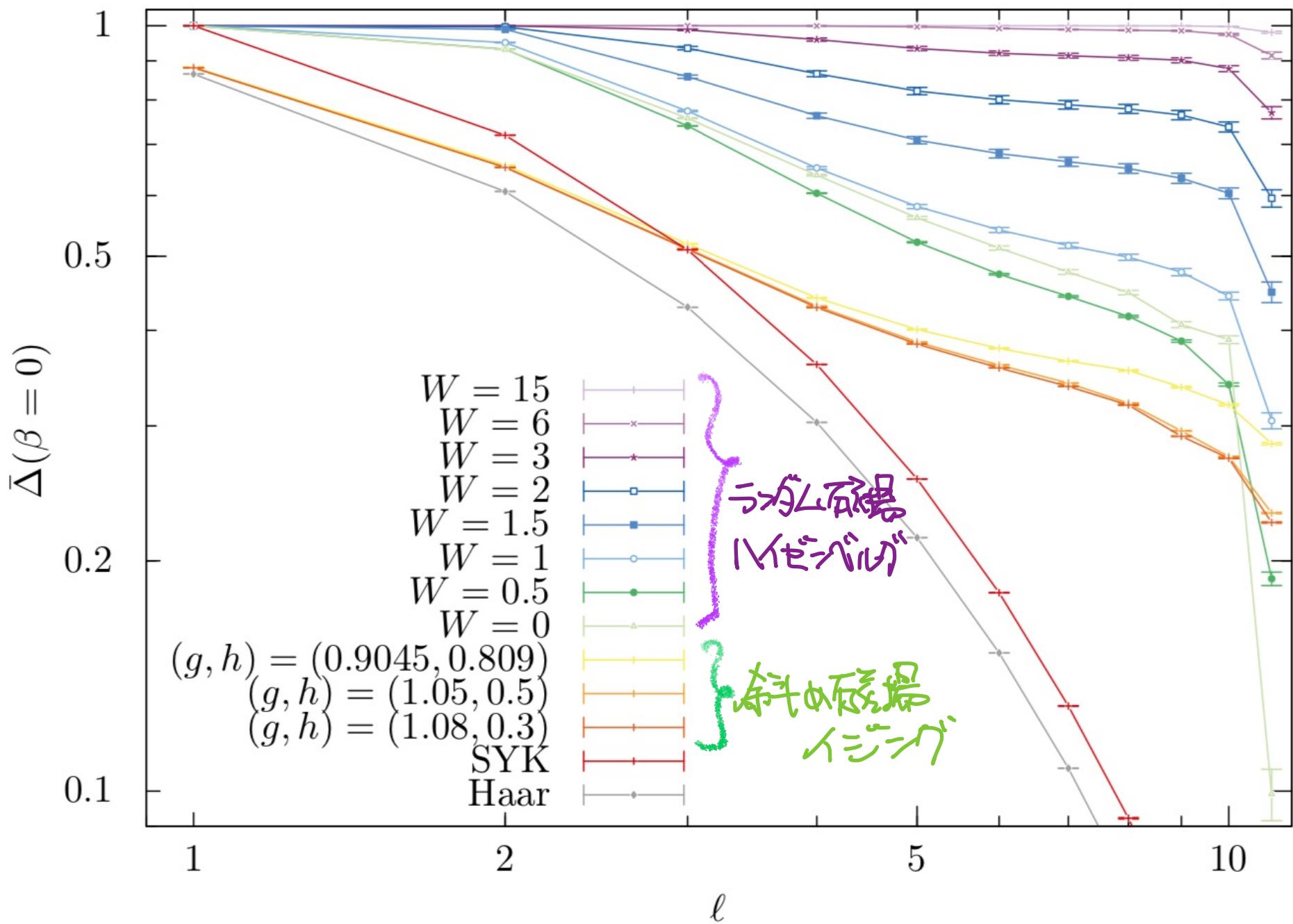
$$\bullet H = -\sum_j (Z_j Z_{j+1} + g X_j + h Z_j)$$

を考えると、数値域に上下が知られている。

1. エネルギースペクトラム \Rightarrow ランダム行列 \Rightarrow 量子カオス。

2. OTOC は長時間後に最小値に収束する。

しかし、数値計算すると、ガタガタ。。。。



$n=12, R=1$ の場合 $\bar{\Delta}(\beta=0)$ の ℓ の関数としてプロット

⇒ 「SYK ⇒ HP復元できる」

「この二つの量子カオス・スピン鎖 ⇒ 全然ダメ」

おや？

ユ=タリ U^S は、AとDのAとDのOTOCが減衰

⇒ TKの手法で復元可能

量子カオス・スピン鎖でもOTOCの減衰が確認されているのに、

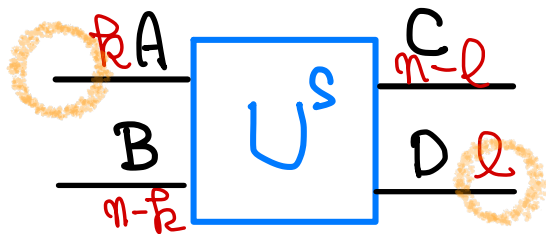
なぜ復元できないのか？

$$\Delta(|\Psi\rangle = |\Phi\rangle, U, \mathcal{D}_{PK}) \leq \left(1 - \frac{1}{2^{2R} \langle \text{OTOC} \rangle} \right)^{1/2}$$

[B. Yoshida & N. Yao, PRX, 2018]

$$\Rightarrow \langle \text{OTOC} \rangle = \frac{1}{d_A^2 d_D^2 d_S} \sum_{\substack{P^A, Q^D \\ \text{Pauli.}}} \text{Tr} [P^A Q^D P^A Q^D]$$

A (R qubits) & D (l qubits) の 全 の Pauli.

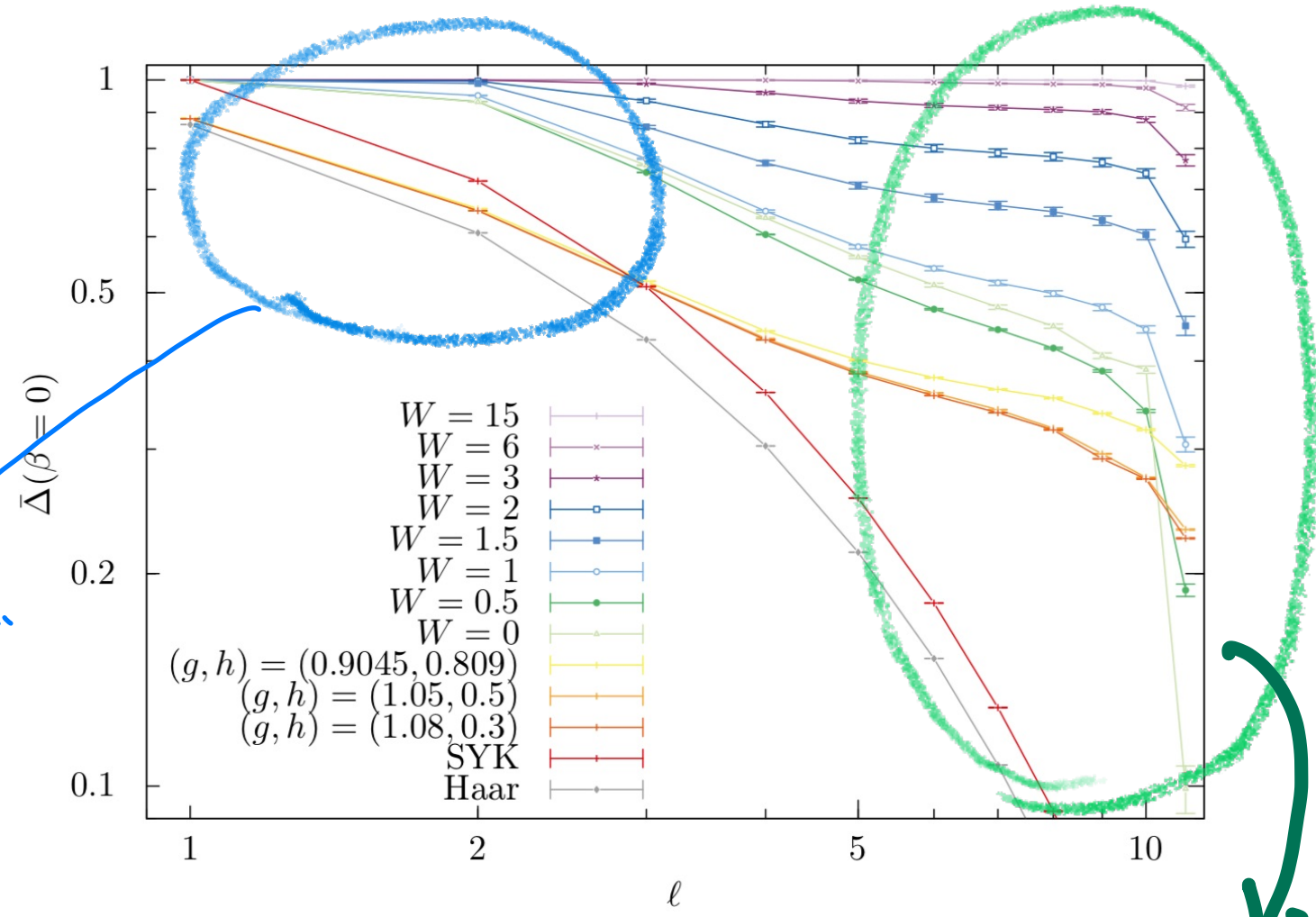


HPのトコルでは、 $l \neq 0 \rightarrow n$ の変数。

$\angle = 3\phi^{1/2}!!$ 今のところの OTOC 研究では、 $R=l=1$ が多い。

\hookrightarrow このよすが局所 OTOC では HP は 理解 できない。

局所OTOCが
理解可能。
(よ研究の中心)



大長のOTOCと関連してる。

つまり、SYKと量子カオス、スピン鎖は、異なる

大長のOTOCと繋がる。

最近、興味があること。

- どういうハミルトニアンであれば、HP復元と実現できる？
- ハミルトニアン時間発展を用いた量子誤り訂正？